

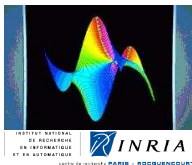
Algorithmique symbolique pour les fonctions spéciales

Frédéric Chyzak

sur des travaux de et/ou en commun avec

A. Bostan, A. Benoit, A. Darrasse, S. Gerhold, M. Kauers, M. Mezzarobba, B. Salvy, ...

Équipe-projet Algorithms, INRIA



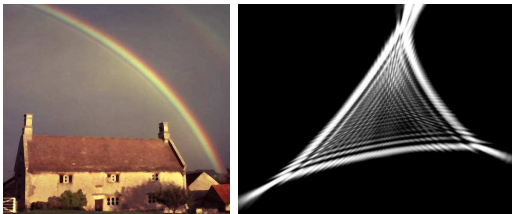
Financé en partie par le



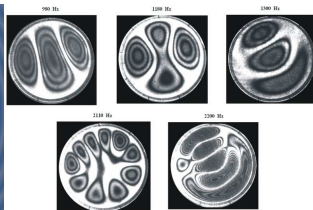
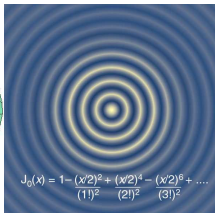
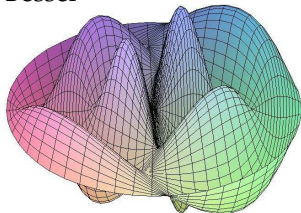
Le 10 mai 2010, Journées « Algorithmique et programmation 2010 », Luminy

Les fonctions spéciales : les origines en physique

Airy =



Bessel =



Les fonctions spéciales : une théorie propre

Une branche de l'analyse :

- ① Whittaker et Watson, *A Course of Modern Analysis*, (1902, 1915, 19??, 1927)
- ② Watson, *A Treatise on the Theory of Bessel Functions*, (1922) : asymptotique
- ③ Erdélyi (éd.), *Bateman Manuscript Project*, (1953, 1953, 1955) : traité encyclopédique
- ④ Olver, *Asymptotics and Special Functions*, (1974)
- ⑤ Andrews, Askey et Roy, *Special Functions*, (1999)

Des formulaires utilisés :

- ① Abramowitz & Stegun (éd.), *Handbook of Mathematical Functions*, (1964)
- ② Prudnikov, Brychkov & Marichev, *Integrals and Series*, en particulier les volumes I à III, (1986, 1989, 1990)

9. Bessel Functions of Integer Order

Mathematical Properties

Notation

The tables in this chapter are for Bessel functions of integer order; the text treats general orders. The conventions used are:

$z = r | \phi$; r, ϕ real,
 n is a positive integer or zero,
 ν, μ are unrestricted except where otherwise indicated; ν is supposed real in the sections devoted to Kelvin functions 9.8, 9.10, and 9.11.
 The notation used for the Bessel functions is that of Watson [9.15] and the British Association and Royal Society Mathematical Tables. The function $Y_n(z)$ is often denoted $N_n(z)$ by physicists and European workers.

Other notations are those of:
 Adair, Airey:
 $G_n(z)$ for $-1/2 Y_n(z), K_n(z)$ for $(-1)^n K_n(z)$.

Clifford:
 $C_n(z)$ for $1/2 J_n(2/z)$.

Gray, Mathews and MacRobert [9.0]:
 $F_n(z)$ for $1/2 Y_n(z) + (n-2) J_n(z)$,
 $\bar{Y}_n(z)$ for $e^{i\pi n} \cos(\pi n) Y_n(z)$,
 $G_n(z)$ for $1/2 H_n^{(1)}(z)$.

Jahnke, Emde and Lösch [9.32]:
 $A_n(z)$ for $\Gamma(\nu+1) J_n(z)$.

Jefferys:
 $H_n(z)$ for $H_n^{(1)}(z), \bar{H}_n(z)$ for $H_n^{(2)}(z)$,
 $K_n(z)$ for $(2/\pi) K_n(z)$.

Heine:
 $K_n(z)$ for $-1/2 Y_n(z)$.

Neumann:
 $Y^n(z)$ for $1/2 Y_n(z) + (n-2) J_n(z)$.

Whittaker and Watson [9.18]:
 $K_n(z)$ for $\cos(\pi n) K_n(z)$.

Bessel Functions J and Y

9.1. Definitions and Elementary Properties

Differential Equation

$$9.1.1 \quad z^2 \frac{d^2 y}{dz^2} + z \frac{dy}{dz} + (z^2 - \nu^2) y = 0$$

Solutions are the Bessel functions of the first kind $J_\nu(z)$ and of the second kind $Y_\nu(z)$ (also called Weber's function) and of the third kind $H_\nu^{(1)}(z), H_\nu^{(2)}(z)$ (also called the Hankel functions). Each is a regular (holomorphic) function of z throughout the z -plane cut along the negative real axis, and for fixed $z (\neq 0)$ each is an entire (integral) function of ν . When $\nu = +n, J_n(z)$ has no branch point and is an entire (integral) function of z .

Important features of the various solutions are as follows: $J_n(z) (\Re \nu \geq 0)$ is bounded as $z \rightarrow 0$ in any bounded range of $\arg z$. $J_n(z)$ and $J_\nu(z)$ are linearly independent except when ν is an integer. $J_\nu(z)$ and $Y_\nu(z)$ are linearly independent for all values of ν .

$H_\nu^{(1)}(z)$ tends to zero as $|z| \rightarrow \infty$ in the sector $0 < \arg z < \pi$; $H_\nu^{(2)}(z)$ tends to zero as $|z| \rightarrow \infty$ in the sector $-\pi < \arg z < 0$. For all values of $\nu, H_\nu^{(1)}(z)$ and $H_\nu^{(2)}(z)$ are linearly independent.

Relations Between Solutions

$$9.1.2 \quad Y_\nu(z) = \frac{J_\nu(z) \cos(\pi \nu) - J_{-\nu}(z)}{\sin(\pi \nu)}$$

The right of this equation is replaced by its limiting value if ν is an integer or zero.

$$9.1.3 \quad H_\nu^{(1)}(z) = J_\nu(z) + i Y_\nu(z)$$

$$= i \cos(\pi \nu) (e^{-i\pi \nu} J_\nu(z) - J_{-\nu}(z))$$

$$9.1.4 \quad H_\nu^{(2)}(z) = J_\nu(z) - i Y_\nu(z)$$

$$= i \cos(\pi \nu) (J_\nu(z) - e^{i\pi \nu} J_{-\nu}(z))$$

$$9.1.5 \quad J_{-\nu}(z) = (-1)^\nu J_\nu(z) \quad Y_{-\nu}(z) = (-1)^\nu Y_\nu(z)$$

$$9.1.6 \quad H_\nu^{(1)}(z) = e^{-i\pi \nu} H_\nu^{(2)}(z) \quad H_\nu^{(2)}(z) = e^{i\pi \nu} H_\nu^{(1)}(z)$$

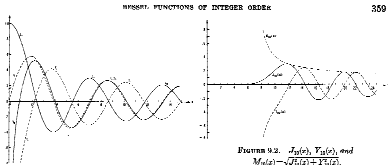


FIGURE 9.1. $J_0(z), Y_0(z), J_1(z), Y_1(z)$.

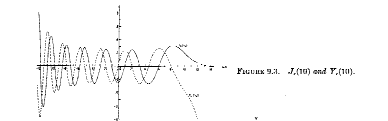


FIGURE 9.2. $J_{10}(z)$ and $Y_{10}(z)$.

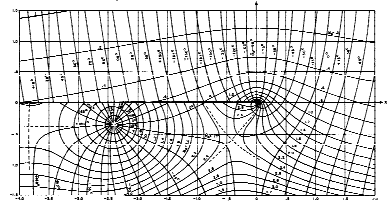


FIGURE 9.3. Contour lines of the modulus and phase of the Hankel function $H_n^{(1)}(z) = J_n(z) - i Y_n(z)$. From E. Jahnke, F. Emde, and F. Lösch, Tables of higher functions, McGraw-Hill Book Co., Inc., New York, N.Y., 1960 (with permission).

Limiting Forms for Small Arguments

When ν is fixed and $x \rightarrow 0$

$$J_\nu(x) \sim (\frac{x}{2})^\nu / \Gamma(\nu + 1) \quad (\nu \neq -1, -2, -3, \dots)$$

$$Y_\nu(x) \sim -iH_\nu^{(2)}(x) \sim -iJ_\nu^{(2)}(x) \sim (2/\pi) \ln x$$

9.1.9

$$Y_\nu(x) \sim -iH_\nu^{(2)}(x) \sim -iJ_\nu^{(2)}(x) \sim -(1/\pi)\Gamma(\nu)(\frac{x}{2})^{-\nu} \quad (\Re \nu > 0)$$

Ascending Series

$$9.1.10 \quad J_\nu(x) \sim (\frac{x}{2})^\nu \sum_{k=0}^{\infty} \frac{(-\frac{1}{2})^k x^{2k}}{\Gamma(\nu+k+1)}$$

9.1.11

$$Y_\nu(x) \sim (\frac{x}{2})^{-\nu} \sum_{k=0}^{\infty} \frac{(-\frac{1}{2})^k x^{2k}}{\Gamma(\nu+k+1)} \ln(\frac{x}{2}) + \dots$$

where $\psi(x)$ is given by 6.3.2.

$$9.1.12 \quad J_\nu(x) \sim 1 - \frac{x^2}{4} + \frac{(\frac{x}{2})^{2\nu}}{(2\nu)!} - \dots$$

9.1.13

$$Y_\nu(x) \sim \frac{2}{\pi} \ln(\frac{x}{2}) J_\nu(x) + \frac{2}{\pi} \frac{1}{\Gamma(\nu)} - \dots$$

9.1.14

$$J_\nu(x) J_\nu(x) \sim \dots$$

Wronskians

$$W[J_\nu(x), J_\nu(x)] = J_{\nu+1}(x) J_\nu(x) + J_\nu(x) J_{\nu+1}(x) = -2 \sin(\pi\nu)$$

9.1.16

$$W[J_\nu(x), Y_\nu(x)] = -J_{\nu+1}(x) Y_\nu(x) + J_\nu(x) Y_{\nu+1}(x) = 2i \cos(\pi\nu)$$

9.1.17

$$W[H_\nu^{(1)}(x), H_\nu^{(2)}(x)] = H_\nu^{(1)}(x) H_\nu^{(2)}(x) - H_\nu^{(2)}(x) H_\nu^{(1)}(x) = -4i \cos(\pi\nu)$$

Integral Representations

$$9.1.18 \quad J_\nu(x) = \frac{1}{\pi} \int_0^\pi \cos(x \sin \theta) d\theta - \frac{1}{\pi} \int_0^\pi \cos(x \cos \theta) d\theta$$

9.1.19

$$Y_\nu(x) = \frac{1}{\pi} \int_0^\pi \cos(x \cos \theta) d\theta + \ln(2x \sin^2 \frac{\theta}{2}) d\theta$$

9.1.20

$$J_\nu(x) = \frac{(\frac{x}{2})^\nu}{\Gamma(\nu+\frac{1}{2}) \Gamma(\frac{1}{2})} \int_0^\pi \cos(x \cos \theta) \sin^{2\nu} \theta d\theta$$

9.1.21

$$Y_\nu(x) = \frac{1}{\pi} \int_0^\pi \cos(x \sin \theta - \nu\theta) d\theta - \frac{1}{\pi} \int_0^\pi e^{i\nu\theta} \cos(x \cos \theta) d\theta$$

9.1.22

$$J_\nu(x) = \frac{1}{\pi} \int_0^\pi \cos(x \sin \theta - \nu\theta) d\theta - \frac{i\pi}{\pi} \int_0^\pi e^{-i\nu\theta} \cos(x \cos \theta) d\theta$$

9.1.23

$$Y_\nu(x) = \frac{1}{\pi} \int_0^\pi \sin(x \sin \theta - \nu\theta) d\theta - \frac{1}{\pi} \int_0^\pi [e^{i\nu\theta} \cos(x \cos \theta) + e^{-i\nu\theta} \cos(x \cos \theta)] d\theta$$

9.1.24

$$J_\nu(x) = \frac{2}{\pi} \int_0^{\frac{\pi}{2}} \sin(x \cosh t) dt \quad (x > 0)$$

9.1.25

$$Y_\nu(x) = \frac{2}{\pi} \int_0^{\frac{\pi}{2}} \cos(x \cosh t) dt \quad (x > 0)$$

9.1.26

$$J_\nu(x) = \frac{2}{\pi} \int_0^{\frac{\pi}{2}} \sin(x \sin \theta) d\theta \quad (\nu < \frac{1}{2}, x > 0)$$

9.1.27

$$Y_\nu(x) = \frac{2}{\pi} \int_0^{\frac{\pi}{2}} \cos(x \sin \theta) d\theta \quad (\nu < \frac{1}{2}, x > 0)$$

In the last integral the path of integration must lie to the left of the points $t=0, 1, 2, \dots$

Table 9.1 BESSEL FUNCTIONS—ORDERS 0, 1 AND 2

x	$J_0(x)$	$J_1(x)$	$J_2(x)$
0.0	1.00000 00000 00000	0.00000 00000	0.00000 00000
0.1	0.99750 12523 84500	0.04983 34530	0.00245 19924
0.2	0.99000 49122 39218	0.09850 83376	0.00494 33717
0.3	0.97750 28248 26678	0.14625 86184	0.01115 58189
0.4	0.96000 10276 77637	0.19242 87180	0.01715 46631
0.5	0.93848 98072 45837	0.23776 86177	0.02306 40215
0.6	0.91220 82624 97211	0.28230 84282	0.02876 37861
0.7	0.88111 60865 54707	0.32619 81515	0.03437 35444
0.8	0.84677 77527 67581	0.36948 77987	0.03989 32976
0.9	0.81000 57923 74928	0.41224 73700	0.04532 30467
1.0	0.78129 76885 57677	0.45450 68757	0.05068 27919
1.1	0.75992 20125 20111	0.49629 63178	0.05596 25341
1.2	0.74515 12482 54051	0.53762 57000	0.06117 22744
1.3	0.73600 73071 41371	0.57859 50363	0.06631 20127
1.4	0.73240 57923 74928	0.61920 43398	0.07138 17500
1.5	0.73440 76885 57677	0.65954 36137	0.07639 14873
1.6	0.74190 20125 20111	0.70000 28700	0.08134 12246
1.7	0.75490 12482 54051	0.74060 21200	0.08625 9619
1.8	0.77340 73071 41371	0.78130 13700	0.09112 7022
1.9	0.79740 57923 74928	0.82210 6200	0.09596 4435
2.0	0.82780 00191 41238	0.86300 0000	0.10077 1848
2.1	0.86460 00000 71000	0.90400 0000	0.10556 0000
2.2	0.90780 77428 39178	0.94500 0000	0.11033 0000
2.3	0.95850 87864 45027	0.98600 0000	0.11508 0000
2.4	0.99250 74892 97244	1.02700 0000	0.12000 0000
2.5	0.99800 71046 82195	1.06800 0000	0.12500 0000
2.6	0.98400 49448 77978	1.10900 0000	0.13000 0000
2.7	0.95200 43768 40627	1.15000 0000	0.13500 0000
2.8	0.90300 05333 84397	1.19100 0000	0.14000 0000
2.9	0.83800 18181 91818	1.23200 0000	0.14500 0000
3.0	0.75900 11947 01977	1.27300 0000	0.15000 0000
3.1	0.66800 67476 50708	1.31400 0000	0.15500 0000
3.2	0.56700 87864 45027	1.35500 0000	0.16000 0000
3.3	0.45900 05333 84397	1.39600 0000	0.16500 0000
3.4	0.34700 18181 91818	1.43700 0000	0.17000 0000
3.5	0.23400 11947 01977	1.47800 0000	0.17500 0000
3.6	0.12200 67476 50708	1.51900 0000	0.18000 0000
3.7	0.01200 87864 45027	1.56000 0000	0.18500 0000
3.8	0.00300 05333 84397	1.60100 0000	0.19000 0000
3.9	0.00100 18181 91818	1.64200 0000	0.19500 0000
4.0	0.00000 11947 01977	1.68300 0000	0.20000 0000
4.1	0.00000 67476 50708	1.72400 0000	0.20500 0000
4.2	0.00000 87864 45027	1.76500 0000	0.21000 0000
4.3	0.00000 05333 84397	1.80600 0000	0.21500 0000
4.4	0.00000 18181 91818	1.84700 0000	0.22000 0000
4.5	0.00000 11947 01977	1.88800 0000	0.22500 0000
4.6	0.00000 67476 50708	1.92900 0000	0.23000 0000
4.7	0.00000 87864 45027	1.97000 0000	0.23500 0000
4.8	0.00000 05333 84397	2.01100 0000	0.24000 0000
4.9	0.00000 18181 91818	2.05200 0000	0.24500 0000
5.0	0.00000 11947 01977	2.09300 0000	0.25000 0000

Compiled from British Association for the Advancement of Science, BESSEL FUNCTIONS, Part II, *Functions of integral order*, Mathematical Tables, vol. 8 (Cambridge, Mass., Cambridge Medical, 1959) and Harvard Computation Laboratory, Tables of the Bessel Functions of the First Kind of orders 0 through 10, vol. 2 14 (Harvard Univ. Press, Cambridge, Mass., 1957-1958) (with permission).

2.16.38. Integrals of $x^{\alpha} J_{\alpha}(ax^{\nu}) J_{\nu}(bx^{\nu}) K_{\nu}(cx)$ (3.1).

$$1. \int_0^{\infty} x^{\alpha} J_{\alpha}(ax^{\nu}) J_{\nu}(bx^{\nu}) K_{\nu}(cx) dx = \frac{1}{8\nu} \left(\frac{2}{a}\right)^{\alpha/\nu} \Gamma\left[\frac{2\mu}{\nu} + \frac{\alpha/4}{1 + (2\mu - \alpha)/4}\right] \times \\ \times x^{\mu} F_4\left[\begin{matrix} \alpha - 2\mu, & \alpha - 2\mu; & 1, & 1 \\ & & \nu/2, & 1 \end{matrix}; \frac{c^2}{16a^2}\right] \frac{2^{\alpha/\nu} \nu^{\mu} b^{\mu}}{(c^2 - 1)^{\alpha/2 + \mu}} \times \\ \times \Gamma\left[\frac{(2 + 2\mu + \alpha)/4}{(2 + 2\mu + \alpha)/4}\right] x^{\mu} F_2\left[\begin{matrix} 1 - \mu, & \alpha \\ & \frac{1}{2}, & \frac{1}{2} \end{matrix}; \frac{3 - \nu}{2}, \frac{3 - \nu}{2}\right] + \\ + \frac{2^{\alpha/\nu} \nu^{-\mu} 3^{2\nu}}{2^{\alpha/\nu} \nu^{\mu}} \Gamma\left[\begin{matrix} -\nu, & (2\mu + 2\nu + \alpha)/4 \\ \nu + 1, & 1 + (2\mu - 2\nu - \alpha)/4 \end{matrix}\right] \times \\ \times x^{\mu} F_4\left[\begin{matrix} \frac{\alpha}{4}, & \frac{\nu - \mu}{2}, & \frac{\alpha}{4}, & \frac{\nu + \mu}{2} \\ & & 1, & \frac{1}{2} \end{matrix}; \frac{1 - \nu}{2}, 1 + \nu, \frac{c^2}{16a^2}\right] \\ \text{[a, Re c, Re } \alpha + 2\mu, \text{ Re } \alpha + 2\mu + \nu > 0]$$

$$2. \int_0^{\infty} x J_{\nu}(ax^2) J_{\nu}(bx) K_{\nu}(cx) dx = \\ = \frac{1}{2c^2} \Gamma\left[\frac{(\mu - \nu + 1)/2}{\nu + 1}\right] M\left[\begin{matrix} \mu/2, \nu/2 \\ \nu + 1 \end{matrix}; \frac{a^2}{2c}, \frac{b^2}{2c}\right] \mathcal{W}_{-\mu/2, \nu/2}\left(\frac{c^2}{2a}\right) \\ \text{[a > 0; |arg c| < \pi/4; Re } \mu, \text{ Re } (\mu + \nu) > -1]$$

$$3. \int_0^{\infty} x J_{\alpha}(ax^2) J_{\nu}(bx) K_{\nu}(cx) dx = \frac{1}{4a} \Gamma\left[\frac{\alpha}{4}\right] K_{\nu/2}\left(\frac{c^2}{4a}\right) \\ \text{[a > 0; |arg c| < \pi/4; Re } \nu > -1]$$

$$4. \int_0^{\infty} x^{2\nu+1/2} J_{\nu+1/2}(ax^2) J_{\nu}(bx) K_{\nu}(cx) dx = \frac{c^{\nu}}{2^{1/2} \nu^{3/2} \sqrt{\pi} a^{\nu+1/2}} K_{\nu/2}\left(\frac{c^2}{2a}\right) \\ \text{[a > 0; |arg c| < \pi/4; Re } \nu > -1]$$

$$5. \int_0^{\infty} x^{2\nu+1/2} J_{\nu+1/2}(ax^2) J_{\nu}(bx) K_{\nu}(cx) dx = \frac{c^{2\nu+1}}{2^{\nu+1/2} \nu^{3/2} \sqrt{\pi} a^{\nu+1/2}} K_{\nu-1/2}\left(\frac{c^2}{2a}\right) \\ \text{[a > 0; |arg c| < \pi/4; Re } \nu > -1]$$

$$6. \int_0^{\infty} x^{2-\nu} J_{\nu-1/2}(ax^2) J_{\nu}(bx) K_{\nu}(cx) dx = \\ = 2^{1/2} \nu^{1/2} \sqrt{\pi} a^{-\nu-1/2} \nu \left[I_{\nu/2}\left(\frac{c^2}{2a}\right) - I_{\nu/2}\left(\frac{c^2}{2a}\right) \right] \\ \text{[a > 0; |arg c| < \pi/4; Re } \nu > -1]$$

$$7. \int_0^{\infty} x^2 J_{\nu}(ax^2) J_{\nu}(bx) K_{\nu}(cx) dx = \frac{1}{4c^2} \exp\left(-\frac{c^2}{2a}\right) \\ \text{[a, Re c > 0; Re } \nu > -1]$$

$$8. \int_0^{\infty} x^{\alpha} J_{\nu}(ax^{\nu}) I_{\nu}(bx^{\nu}) K_{\nu}(cx) dx = \frac{c^{\alpha}}{8a^{\alpha} \nu^{\alpha}} \exp\left(-\frac{c^2}{2a}\right) \\ \text{[a > 0; a, Re c < \pi/4]$$

$$9. \int_0^{\infty} x^{\mu+\nu/2} (bx^{\nu}) J_{\mu-\nu/2}(bx^{\nu}) K_{\nu}(cx) dx = \\ = \frac{1}{8c^2} \Gamma\left[\mu + \frac{\nu + \nu}{4}\right] \Gamma\left[\mu + \frac{\nu - \nu}{4}\right] \mathcal{W}_{-\mu, \nu/2}\left(\frac{c^2}{8b}\right) \mathcal{W}_{-\mu, \nu/2}\left(-\frac{c^2}{8b}\right) \\ \text{[a, Re } \mu > 0; \mu + \nu > 1; \text{Re } \nu > -1]$$

$$\times x^{\mu} \left[(\tau - \rho - \mu - 1, -\rho - \mu, -\rho - \sigma - \mu; \tau - \rho - \mu, -\rho - \mu - 2\sigma; \mp \frac{2a}{x - a}) + \right. \\ \left. + \frac{(2a)^{\rho} c^{2\sigma}}{n!} (\sigma + \tau)_n B\left(\rho + \frac{1}{2}, n + 1, \tau - \rho - \mu - 1\right) \ln x \right. \\ \left. - \frac{(-1)^{\rho} c^{2\sigma}}{n!} B(\rho + \frac{1}{2}, n + 1, \tau - \rho - \mu - 1) \right] \\ \text{[a > 0; Re } \rho > -1; \text{Re } \sigma < \frac{1}{2}; \frac{1}{2} \leq \frac{1}{2} \frac{1}{x} \frac{1}{x - a} < \frac{1}{2} \frac{1}{x} \frac{1}{x - a}]$$

2.22.9. Integrals of $A(x) B(ax+bx) P_{\nu}^{\mu, \sigma}(cx)$.

$$1. \int_{-a}^a (x+a)^{\alpha} (a-x)^{\beta} B(-a-b) P_{\nu}^{\mu, \sigma}\left(\frac{x}{a}\right) dx = \\ = \frac{(-1)^{\mu+1}}{n!} (\sigma - \alpha)_n B(\rho + n + 1, \alpha + 1) (2a)^{\rho + \sigma + 1} \times \\ \times x^{\mu} F_4\left(1, 1, \alpha - n + 1, \alpha + 1; 2, 2, \alpha - \sigma - n + 1, \alpha + \rho + n + 2; -2ab\right) - \\ - \frac{(-1)^{\mu}}{n!} (\sigma - \alpha + 1)_n B(\rho, \alpha + n + \frac{1}{2}) (2a)^{\rho + \sigma} \times \\ \times \left[C + \psi(\alpha) - \psi(\alpha + \rho + \frac{1}{2}) - \sum_{j=0}^{\sigma-1} \frac{1}{\sigma - \alpha + j + 1} + \ln(2ab) \right] \\ \text{[a, Re } \alpha > 0; \text{Re } \rho > -1]$$

$$2. \int_{-a}^a (x-a)^{\rho} (a+x)^{\sigma} B(-a-b) P_{\nu}^{\mu, \sigma}\left(\frac{x}{a}\right) dx = \\ = -\frac{(\sigma + \tau - 1)_n}{n!} B(\rho + \frac{1}{2}, n + 1, \tau - \rho - n - 2) (2a)^{\rho + \sigma + 1} \times \\ \times x^{\mu} F_4\left(1, 1, 2 - \sigma - 1, 2 - \tau; 2, 2, 2 - \sigma - n, \rho - \tau + n + 3; -2ab\right) + \\ + \frac{(\rho + \sigma + n + 1)_n}{n!} \frac{(\sigma - n - 1)!}{(\sigma - \mu - n - 1)!} \Gamma(\rho - \tau + n + 1) \times \\ \times x^{\mu} F_3\left(\tau - \rho - n - 1, -\rho - n, -\rho - \sigma - n; \tau - \rho - n, \tau - \rho - n, -\rho - \sigma - 2n; -2ab\right) + \\ + \frac{(\sigma + 1)_n}{n!} B(\rho + n + 1, \tau - \rho - n - 1) (2a)^{\rho + \sigma} \times \\ \times \left[C + \psi(\tau) - \psi(\tau - \rho - n - 1) - \sum_{j=0}^{\sigma-1} \frac{1}{\sigma + \tau + j} + \ln(2ab) \right] \\ \text{[a, Re } \sigma > 0; \text{Re } \rho > -1]$$

2.22.10. Integrals of $A(x) B(b\sqrt{x+a}) P_{\nu}^{\mu, \sigma}(cx)$.

$$\text{Notation: } \delta = \frac{1}{10}.$$

$$1. \int_{-a}^a (x+a)^{\alpha-1} (\sigma - x)^{\beta} B(b\sqrt{x+a}) P_{\nu}^{\mu, \sigma}\left(\frac{x}{a}\right) dx = \\ = \frac{(-1)^{\mu+1}}{2n!} (\sigma - \alpha - \delta)_n \frac{2^{\sigma+1} \nu^{\sigma+1}}{c^{\sigma+1}} B\left(\rho + \frac{1}{2}, n + 1, \alpha + \frac{\delta}{2} + 1\right) \times \\ \times x^{\mu} F_4\left(1, 1, \alpha + \frac{\delta}{2} - n - 1, \frac{\delta}{2} + 1, n - \frac{3}{2} + 1; \right. \\ \left. 2, \alpha + \mu + \frac{\delta}{2} + n + 2, \delta + \frac{3}{2}, \frac{\delta}{2} + 2, \alpha + \frac{\delta}{2} - \sigma - n + 1; -\frac{ab^2}{2}\right) +$$

Calculs automatiques d'approximations

- Développements de Taylor :

$$\text{Ai}(x) = \sum_{n=0}^{\infty} \frac{1}{3} \frac{\sqrt[3]{3} x^{3n}}{9^n \Gamma\left(n + \frac{2}{3}\right) n!} - \frac{1}{9} \frac{3^{2/3} x^{3n+1}}{9^n \Gamma\left(n + \frac{4}{3}\right) n!}.$$

- Développements de Tchebycheff :

$$\cos(x) = J_0(1)T_0(x) + \sum_{n=1}^{\infty} 2(-1)^n J_{2n}(1)T_{2n}(x),$$

$$\text{erf}(x) = \sum_{n=0}^{\infty} 2 \frac{(-1)^n {}_1F_1\left(\frac{n+\frac{1}{2}}{2n+2} \middle| -1\right) T_{2n+1}(x)}{\sqrt{\pi} 4^n (2n+1) n!}.$$

- Approximations exactes **jusqu'au dernier chiffre** :

$$\text{Ai}\left(\frac{1}{4} + \frac{i}{4}\right) \approx 0,28881085384820872173256483671407046811262524805800 \dots$$
$$- i 0,06285934655654573023276143694398895654562496105515 \dots$$

$$\frac{1}{\pi} \approx 0,31830988618379067153776752674502872406891929148091 \dots$$

$$F_n F_{n+2} - F_{n+1}^2 = (-1)^n$$

Cassini

$$\frac{1 - \sqrt{1 - 4z}}{2z} = \sum_{n=0}^{\infty} \binom{2n}{n} \frac{z^n}{n+1}$$

Catalan

$${}_2F_1\left(\begin{matrix} a, b \\ a + b + 1/2 \end{matrix} \middle| z\right) = {}_2F_1\left(\begin{matrix} 2a, 2b \\ a + b + 1/2 \end{matrix} \middle| \frac{1 - \sqrt{1 - z}}{2}\right)$$

Legendre

$$\sum_{n=0}^{\infty} H_n(x) H_n(y) \frac{u^n}{n!} = \frac{\exp\left(\frac{4u(xy - u(x^2 + y^2))}{1 - 4u^2}\right)}{\sqrt{1 - 4u^2}}$$

Mehler

Identités multivariées automatiques

$$\sum_{k=0}^n \binom{n}{k}^2 \binom{n+k}{k}^2 = \sum_{k=0}^n \binom{n}{k} \binom{n+k}{k} \sum_{j=0}^k \binom{k}{j}^3$$

Strehl (1992)

$$\sum_{n=0}^{+\infty} P_n(x)y^n = \frac{1}{\sqrt{1-2xy+y^2}}, \quad P_n(x) = \frac{1}{2^n} \sum_{k=0}^n \binom{n}{k}^2 x^k$$

$$\int_0^{+\infty} x J_1(ax) I_1(ax) Y_0(x) K_0(x) dx = -\frac{\ln(1-a^4)}{2\pi a^2}$$

Gl.-Mo. (1994)

$$\oint_0 \frac{(1+2xy+4y^2) \exp\left(\frac{4x^2y^2}{1+4y^2}\right)}{y^{n+1}(1+4y^2)^{\frac{3}{2}}} dy = \frac{n! H_n(x)}{[n/2]!}$$

Doetsch (1930)

$$\sum_{k=0}^n \frac{q^{k^2}}{(q; q)_k (q; q)_{n-k}} = \sum_{k=-n}^n \frac{(-1)^k q^{(5k^2-k)/2}}{(q; q)_{n-k} (q; q)_{n+k}}$$

Andrews (1974)

$$\sum_{j=0}^n \sum_{i=0}^{n-j} \frac{q^{(i+j)^2+j^2}}{(q; q)_{n-i-j} (q; q)_i (q; q)_j} = \sum_{k=-n}^n \frac{(-1)^k q^{7/2k^2+1/2k}}{(q; q)_{n+k} (q; q)_{n-k}}$$

Paule (1985)

Dans le monde :

 <http://dlmf.nist.gov/>, (1998–)

 <http://functions.wolfram.com/>, (2009–)

Dans le monde :

 <http://dlmf.nist.gov/>, (1998–)

 <http://functions.wolfram.com/>, (2009–)

Par notre équipe :

 <http://algo.inria.fr/esf/>, (2001–2006)

 <http://ddmf.msr-inria.inria.fr/>, (2008–)

Plan de la journée

Séance 1

Propriétés de clôture des fonctions spéciales univariées (gfun)

Séance 2

- Évaluation numérique rapide en précision arbitraire garantie (NumGfun)
- Encyclopédie mathématiques en ligne (DynaMoW et le DDMF)

Séance 3

Sommes et intégrales des fonctions spéciales multivariées (Mgfun)

Première partie

Où il sera question de clôtures univariées

Plan

① Introduction

② Définitions

③ Propriétés de clôture

④ Compléments

Décider l'indécidable ?

Théorème (Richardson, 1968)

Dans la *classe* obtenue à partir de $\mathbb{Q}(x)$, π , $\log 2$ par les opérations $+$, $-$, \times et par composition avec \exp , \sin and $|\cdot|$, le *test d'équivalence à zéro* est *indécidable*.

Décider l'indécidable ?

Théorème (Richardson, 1968)

Dans la *classe* obtenue à partir de $\mathbb{Q}(x)$, π , $\log 2$ par les opérations $+$, $-$, \times et par composition avec \exp , \sin and $|\cdot|$, le *test d'équivalence à zéro* est *indécidable*.

Conséquences :

- ① « Simplifier » est toujours difficile, souvent mal défini ;
- ② Faire du calcul formel, c'est isoler des *classes* pour lesquelles on peut fournir des *algorithmes*.

Exemple : Nombres algébriques

Un polynôme irréductible est une bonne structure de données pour représenter ses racines (et calculer avec).

Exemple : Nombres algébriques

Un polynôme irréductible est une bonne structure de données pour représenter ses racines (et calculer avec).

$$\text{Ex. : } x := \frac{\sin \frac{2\pi}{7}}{\sin^2 \frac{3\pi}{7}} - \frac{\sin \frac{\pi}{7}}{\sin^2 \frac{2\pi}{7}} + \frac{\sin \frac{3\pi}{7}}{\sin^2 \frac{\pi}{7}} = 2\sqrt{7}.$$

Exemple : Nombres algébriques

Un polynôme irréductible est une bonne structure de données pour représenter ses racines (et calculer avec).

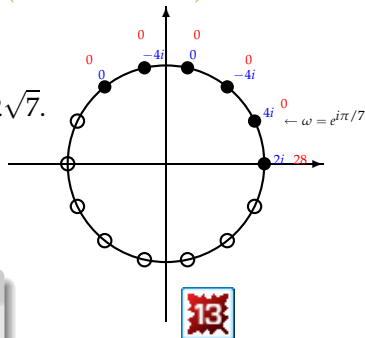
$$\text{Ex. : } x := \frac{\sin \frac{2\pi}{7}}{\sin^2 \frac{3\pi}{7}} - \frac{\sin \frac{\pi}{7}}{\sin^2 \frac{2\pi}{7}} + \frac{\sin \frac{3\pi}{7}}{\sin^2 \frac{\pi}{7}} = 2\sqrt{7}.$$

$x \in \mathbb{Q}(i, \omega)$, de dimension 2×6 sur \mathbb{Q} .

Coords de $x \rightarrow$ Coords de $x^2 \rightarrow x$

Définition

Un nombre $\alpha \in \mathbb{C}$ est **algébrique** quand ses puissances engendrent un espace vectoriel de dimension finie sur \mathbb{Q} .



Exemple : Nombres algébriques

Un polynôme irréductible est une bonne structure de données pour représenter ses racines (et calculer avec).

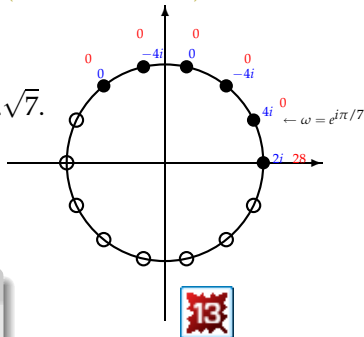
$$\text{Ex. : } x := \frac{\sin \frac{2\pi}{7}}{\sin^2 \frac{3\pi}{7}} - \frac{\sin \frac{\pi}{7}}{\sin^2 \frac{2\pi}{7}} + \frac{\sin \frac{3\pi}{7}}{\sin^2 \frac{\pi}{7}} = 2\sqrt{7}.$$

$x \in \mathbb{Q}(i, \omega)$, de dimension 2×6 sur \mathbb{Q} .

Coords de $x \rightarrow$ Coords de $x^2 \rightarrow x$

Définition

Un nombre $\alpha \in \mathbb{C}$ est **algébrique** quand ses puissances engendrent un espace vectoriel de dimension finie sur \mathbb{Q} .



Outils : division euclidienne, algorithme d'Euclide (étendu), algèbre linéaire.

Plan

① Introduction

② Définitions

③ Propriétés de clôture

④ Compléments

Séries différentiellement finies

Définition (Stanley, 1980, 1999)

Une *série formelle* $f \in \mathbb{Q}[[x]]$ est **différentiellement finie** (D-finie) quand ses dérivées engendrent un espace vectoriel de dimension finie sur $\mathbb{Q}(x)$.

Séries différentiellement finies

Définition (Stanley, 1980, 1999)

Une *série formelle* $f \in \mathbb{Q}[[x]]$ est **différentiellement finie** (D-finie) quand ses dérivées engendrent un espace vectoriel de dimension finie sur $\mathbb{Q}(x)$.

Définition équivalente : Une série formelle f est **D-finie** s'il existe des polynômes $a_i \in \mathbb{Q}[x]$ tels que (« ÉDL »)

$$a_k(x)f^{(k)}(x) + \cdots + a_0(x)f(x) = 0.$$

Séries différentiellement finies

Définition (Stanley, 1980, 1999)

Une série formelle $f \in \mathbb{Q}[[x]]$ est **différentiellement finie** (D-finie) quand ses dérivées engendrent un espace vectoriel de dimension finie sur $\mathbb{Q}(x)$.

Définition équivalente : Une série formelle f est **D-finie** s'il existe des polynômes $a_i \in \mathbb{Q}[x]$ tels que (« ÉDL »)

$$a_k(x)f^{(k)}(x) + \cdots + a_0(x)f(x) = 0.$$

Exemples : exp, log, sin, cos, sinh, cosh, arccos, arccosh, arcsin, arcsinh, arctan, arctanh, arccot, arccoth, arccsc, arccsch, arcsec, arcsech, ${}_pF_q$ (inclut les f. de Bessel, J , Y , I et K , de Airy A_i et B_i , et les polylogarithmes), les f. de Struve, Weber et Anger, la grande classe des **fonctions algébriques**, ...

Séries différentiellement finies

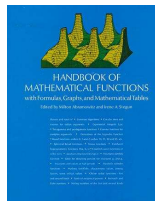
Définition (Stanley, 1980, 1999)

Une série formelle $f \in \mathbb{Q}[[x]]$ est **différentiellement finie** (D-finie) quand ses dérivées engendrent un espace vectoriel de dimension finie sur $\mathbb{Q}(x)$.

Définition équivalente : Une série formelle f est **D-finie** s'il existe des polynômes $a_i \in \mathbb{Q}[x]$ tels que (« ÉDL »)

$$a_k(x)f^{(k)}(x) + \dots + a_0(x)f(x) = 0.$$

Exemples : exp, log, sin, cos, sinh, cosh, arccos, arccosh, arcsin, arcsinh, arctan, arctanh, arccot, arccoth, arccsc, arccsch, arcsec, arcsech, ${}_pF_q$ (inclut les f. de Bessel, J , Y , I et K , de Airy Ai et Bi , et les polylogarithmes), les f. de Struve, Weber et Anger, la grande classe des **fonctions algébriques**, ...



Environ 60% d'Abramowitz & Stegun.

Coefficients \leftrightarrow Séries

Théorème (XIX^e siècle ; Stanley, 1980, 1999)

Une série est D-finie si et seulement si sa série de coefficients vérifie une récurrence linéaire.

Coefficients \leftrightarrow Séries

Théorème (XIX^e siècle ; Stanley, 1980, 1999)

Une série est D-finie si et seulement si sa série de coefficients vérifie une récurrence linéaire.

Preuve (par un **dictionnaire** + suivi des **conditions initiales**) :

$$f = \sum_{n=0}^{\infty} a_n x^n, \quad f' = \sum_{n=0}^{\infty} (n+1)a_{n+1}x^n, \quad xf = \sum_{n=1}^{\infty} a_{n-1}x^n.$$

$$x^i f^{(j)} \rightarrow \sum_{n=i}^{\infty} (n-i+1)(n-i+2)\dots(n+j-i)a_{n+j-i}x^n$$

$$\left(x \frac{d}{dx}\right)^k (x^{-i}f) + P(x^{-1}) \leftarrow \sum_{n=0}^{\infty} a_{n+i}n^k x^n$$

Coefficients \leftrightarrow Séries

Théorème (XIX^e siècle ; Stanley, 1980, 1999)

Une série est D-finie si et seulement si sa série de coefficients vérifie une récurrence linéaire.

Preuve (par un **dictionnaire** + suivi des **conditions initiales**) :

$$f = \sum_{n=0}^{\infty} a_n x^n, \quad f' = \sum_{n=0}^{\infty} (n+1)a_{n+1}x^n, \quad xf = \sum_{n=1}^{\infty} a_{n-1}x^n.$$

$$x^i f^{(j)} \rightarrow \sum_{n=i}^{\infty} (n-i+1)(n-i+2)\dots(n+j-i)a_{n+j-i}x^n$$

$$\left(x \frac{d}{dx}\right)^k (x^{-i}f) + P(x^{-1}) \leftarrow \sum_{n=0}^{\infty} a_{n+i}n^k x^n$$

Attention : **Les ordres diffèrent!**

Suites P-récurrentes

Définition (Stanley, 1980, 1999)

Une suite (u_n) est **P-récurrente** quand ses décalées $(u_n), (u_{n+1}), (u_{n+2}), \dots$, engendrent un espace vectoriel de dimension finie sur $\mathbb{Q}(n)$.

Suites P-récurrentes

Définition (Stanley, 1980, 1999)

Une suite (u_n) est **P-récurrente** quand ses décalées $(u_n), (u_{n+1}), (u_{n+2}), \dots$, engendrent un espace vectoriel de dimension finie sur $\mathbb{Q}(n)$.

Définition équivalente : Une suite (u_n) est **P-récurrente** s'il existe des polynômes $a_i \in \mathbb{Q}[n]$ tels que (« ÉRL »)

$$a_k(n)u_{n+k} + \dots + a_0(n)u_n = 0.$$

Suites P-récurrentes

Définition (Stanley, 1980, 1999)

Une suite (u_n) est **P-récurrente** quand ses décalées $(u_n), (u_{n+1}), (u_{n+2}), \dots$, engendrent un espace vectoriel de dimension finie sur $\mathbb{Q}(n)$.

Définition équivalente : Une suite (u_n) est **P-récurrente** s'il existe des polynômes $a_i \in \mathbb{Q}[n]$ tels que (« ÉRL »)

$$a_k(n)u_{n+k} + \dots + a_0(n)u_n = 0.$$

Exemples : suites rationnelles, suites hypergéométriques (inclut $n!$, les multinomiaux, \dots), polynômes orthogonaux classiques.

Suites P-récurrentes

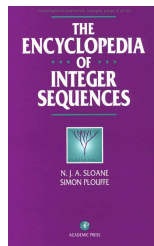
Définition (Stanley, 1980, 1999)

Une suite (u_n) est **P-récurrente** quand ses décalées $(u_n), (u_{n+1}), (u_{n+2}), \dots$, engendrent un espace vectoriel de dimension finie sur $\mathbb{Q}(n)$.

Définition équivalente : Une suite (u_n) est **P-récurrente** s'il existe des polynômes $a_i \in \mathbb{Q}[n]$ tels que (« ÉRL »)

$$a_k(n)u_{n+k} + \dots + a_0(n)u_n = 0.$$

Exemples : suites rationnelles, suites hypergéométriques (inclut $n!$, les multinomiaux, ...), polynômes orthogonaux classiques.



Environ 25% de Sloane & Plouffe.

équation + conditions initiales = structure de données

Exemple : Séries hypergéométriques et généralisées

La série **hypergéométrique** de Gauss,

$${}_2F_1\left(\begin{matrix} a, b \\ c \end{matrix} \middle| x\right) := \sum_{n=0}^{\infty} u_n x^n \quad \text{pour} \quad u_n := \frac{(a)_n (b)_n}{(c)_n n!}, \quad \text{est solution de}$$

$$(\theta + c - 1)\theta(f) = x(\theta + a)(\theta + b)(f) \quad \text{pour} \quad \theta := x \frac{d}{dx},$$

$$\text{car} \quad \frac{u_{n+1}}{u_n} = \frac{(n+a)(n+b)}{(n+c)(n+1)} \quad (\text{suite hypergéométrique}).$$

$$(\alpha)_n := \alpha(\alpha + 1) \dots (\alpha + n - 1).$$

Exemple : Séries hypergéométriques et généralisées

La série **hypergéométrique** de Gauss,

$${}_2F_1\left(\begin{matrix} a, b \\ c \end{matrix} \middle| x\right) := \sum_{n=0}^{\infty} u_n x^n \quad \text{pour} \quad u_n := \frac{(a)_n (b)_n}{(c)_n n!}, \quad \text{est solution de}$$

$$(\theta + c - 1)\theta(f) = x(\theta + a)(\theta + b)(f) \quad \text{pour} \quad \theta := x \frac{d}{dx},$$

$$\text{car} \quad \frac{u_{n+1}}{u_n} = \frac{(n+a)(n+b)}{(n+c)(n+1)} \quad (\text{suite hypergéométrique}).$$

$$(\alpha)_n := \alpha(\alpha+1)\dots(\alpha+n-1).$$

$$\text{Série hyperg. généralisée } {}_pF_q\left(\begin{matrix} a_1, \dots, a_p \\ b_1, \dots, b_q \end{matrix} \middle| x\right) := \sum_{n=0}^{\infty} \frac{(a_1)_n \dots (a_p)_n}{(b_1)_n \dots (b_q)_n n!} x^n :$$

$$((\theta + a_1 - 1) \dots (\theta + a_p - 1)x - \theta(\theta + b_1 - 1) \dots (\theta + b_q - 1))(f) = 0,$$

$$\text{car} \quad \frac{u_{n+1}}{u_n} = \frac{(n+a_1) \dots (n+a_p)}{(n+b_1) \dots (n+b_q)(n+1)}.$$

Cas particuliers

$$\exp(z) = {}_0F_0\left(\begin{matrix} - \\ - \end{matrix} \middle| z\right) = 1 + z + \frac{z^2}{2!} + \dots,$$

$$(1-z)^{-a} = {}_1F_0\left(\begin{matrix} a \\ - \end{matrix} \middle| z\right) = 1 + az + a(a+1)\frac{z^2}{2!} + \dots,$$

$$\log \frac{1}{1-z} = z {}_2F_1\left(\begin{matrix} 1, 1 \\ 2 \end{matrix} \middle| z\right) = z + \frac{z^2}{2} + \dots,$$

$$\arcsin(z) = z {}_2F_1\left(\begin{matrix} \frac{1}{2}, \frac{1}{2} \\ \frac{3}{2} \end{matrix} \middle| z\right), \quad \arctan(z) = z {}_2F_1\left(\begin{matrix} \frac{1}{2}, 1 \\ \frac{3}{2} \end{matrix} \middle| z\right),$$

$$J_\nu(z) = \frac{1}{\Gamma(\nu+1)} \left(\frac{z}{2}\right)^\nu {}_0F_1\left(\begin{matrix} - \\ \nu+1 \end{matrix} \middle| -\frac{z^2}{4}\right),$$

$$\text{AGM}(a, b) = \frac{a}{{}_2F_1\left(\begin{matrix} \frac{1}{2}, \frac{1}{2} \\ 1 \end{matrix} \middle| 1 - \frac{b^2}{a^2}\right)}, \dots$$

Plan

- 1 Introduction
- 2 Définitions
- 3 Propriétés de clôture**
- 4 Compléments

Preuve de l'identité $\sin^2(x) + \cos^2(x) = 1$

```
> series( sin(x)^2 + cos(x)^2, x, 4 ) ;
```

$$1 + O(x^4)$$

En quoi est-ce une preuve ?

Preuve de l'identité $\sin^2(x) + \cos^2(x) = 1$

```
> series( sin(x)^2 + cos(x)^2, x, 4 ) ;
```

$$1 + O(x^4)$$

En quoi est-ce une preuve ?

- ① \sin et \cos vérifient une ÉDL du second ordre : $y'' + y = 0$.
- ② Leurs carrés (puis la somme) vérifient une ÉDL d'ordre 3 (base $\sin^2, \cos^2, \sin \cos$).
- ③ La constante 1 vérifie une ÉDL du premier ordre : $y' = 0$.
- ④ $\sin^2 + \cos^2 - 1$ vérifie une ÉDL d'ordre au plus 4.
- ⑤ Elle n'est pas singulière en 0.
- ⑥ Conclusion par le théorème de Cauchy.

Preuve de l'identité $\sin^2(x) + \cos^2(x) = 1$

```
> series( sin(x)^2 + cos(x)^2, x, 4 ) ;
```

$$1 + O(x^4)$$

En quoi est-ce une preuve ?

- ① \sin et \cos vérifient une ÉDL du second ordre : $y'' + y = 0$.
- ② Leurs carrés (puis la somme) vérifient une ÉDL d'ordre 3 (base $\sin^2, \cos^2, \sin \cos$).
- ③ La constante 1 vérifie une ÉDL du premier ordre : $y' = 0$.
- ④ $\sin^2 + \cos^2 - 1$ vérifie une ÉDL d'ordre au plus 4.
- ⑤ Elle n'est pas singulière en 0.
- ⑥ Conclusion par le théorème de Cauchy.

Autre identité (même idée) : $F_n^2 - F_{n+1}F_{n-1} = (-1)^{n+1}$.

```
> seq( fib(n)^2 - fib(n+1) * fib(n-1) + (-1)^n, n=0..4 ) ;
```

$$0, 0, 0, 0, 0$$

Division euclidienne et dimension finie

Théorème (XIX^e siècle)

Les séries D-finies, resp. les suites P-récurrentes, forment une \mathbb{Q} -algèbre.

Division euclidienne et dimension finie

Théorème (XIX^e siècle)

Les séries D-finies, resp. les suites P-récurrentes, forment une Q-algèbre.

Preuve (pour le produit de séries) :

$$f^{(n)} = a_0 f + a_1 f' + \cdots + a_{n-1} f^{(n-1)}, \quad g^{(m)} = b_0 g + b_1 g' + \cdots + b_{m-1} g^{(m-1)}.$$

$$h = fg, \quad h' = f'g + fg', \quad \dots, \quad h^{(k)} = \sum_{\substack{0 \leq i < n \\ 0 \leq j < m}} c_{i,j,k} f^{(i)} g^{(j)}$$

$\implies h, h', \dots, h^{(mn)}$ sont linéairement dépendants.

Division euclidienne et dimension finie

Théorème (XIX^e siècle)

Les séries D-finies, resp. les suites P-récurrentes, forment une Q-algèbre.

Preuve (pour le produit de séries) :

$$f^{(n)} = a_0 f + a_1 f' + \cdots + a_{n-1} f^{(n-1)}, \quad g^{(m)} = b_0 g + b_1 g' + \cdots + b_{m-1} g^{(m-1)}.$$

$$h = fg, \quad h' = f'g + fg', \quad \dots, \quad h^{(k)} = \sum_{\substack{0 \leq i < n \\ 0 \leq j < m}} c_{i,j,k} f^{(i)} g^{(j)}$$

$\implies h, h', \dots, h^{(mn)}$ sont linéairement dépendants.

Cette preuve fournit un algorithme.

Division euclidienne et dimension finie

Théorème (XIX^e siècle)

Les séries D-finies, resp. les suites P-récurrentes, forment une \mathbb{Q} -algèbre.

Preuve (pour le produit de séries) :

$$f^{(n)} = a_0 f + a_1 f' + \cdots + a_{n-1} f^{(n-1)}, \quad g^{(m)} = b_0 g + b_1 g' + \cdots + b_{m-1} g^{(m-1)}.$$

$$h = fg, \quad h' = f'g + fg', \quad \dots, \quad h^{(k)} = \sum_{\substack{0 \leq i < n \\ 0 \leq j < m}} c_{i,j,k} f^{(i)} g^{(j)}$$

$\implies h, h', \dots, h^{(mn)}$ sont linéairement dépendants.

Cette preuve fournit un algorithme.

Corollaire

Les séries D-finies sont closes sous le produit de Hadamard (terme à terme) product, les transformations de Laplace et Borel (FGO \leftrightarrow FGE).

Division euclidienne et dimension finie

Théorème (XIX^e siècle)

Les séries D-finies, resp. les suites P-récurrentes, forment une \mathbb{Q} -algèbre.

Preuve (pour le produit de séries) :

$$f^{(n)} = a_0 f + a_1 f' + \cdots + a_{n-1} f^{(n-1)}, \quad g^{(m)} = b_0 g + b_1 g' + \cdots + b_{m-1} g^{(m-1)}.$$

$$h = fg, \quad h' = f'g + fg', \quad \dots, \quad h^{(k)} = \sum_{\substack{0 \leq i < n \\ 0 \leq j < m}} c_{i,j,k} f^{(i)} g^{(j)}$$

$\implies h, h', \dots, h^{(mn)}$ sont linéairement dépendants.

Cette preuve fournit un algorithme.

Corollaire

Les séries D-finies sont closes sous le produit de Hadamard (terme à terme) product, les transformations de Laplace et Borel (FGO \leftrightarrow FGE).

Tout est **implanté** dans gfun (Salvy & Zimmermann, 1994).

Identité de Mehler sur les polynômes de Hermite

$$\sum_{n=0}^{\infty} H_n(x)H_n(y) \frac{u^n}{n!} = \frac{\exp\left(\frac{4u(xy-u(x^2+y^2))}{1-4u^2}\right)}{\sqrt{1-4u^2}} \quad \text{Mehler (1866).}$$

- ① Définition des polynômes de Hermite $H_n(x)$ (D-finis sur $\mathbb{Q}(x)$) : récurrence d'ordre 2 ;
- ② Produit par algèbre linéaire : $H_{n+n}(x)H_{n+n}(y)/(n+n)!$, $n \in \mathbb{N}$, engendré sur $\mathbb{Q}(x, n)$ par

$$\frac{H_n(x)H_n(y)}{n!}, \frac{H_{n+1}(x)H_n(y)}{n!}, \frac{H_n(x)H_{n+1}(y)}{n!}, \frac{H_{n+1}(x)H_{n+1}(y)}{n!}$$

→ récurrence d'ordre **au plus 4** ;

- ③ Traduction en une ÉDL.



Les séries algébriques sont D-finies

... et même :

Théorème (Abel, ?1820–; Cockle, 1860)

Les séries D-finies composées avec les séries formelles algébriques sont D-finies (dès que la composée a un sens).

Les séries algébriques sont D-finies

... et même :

Théorème (Abel, ?1820–; Cockle, 1860)

Les séries D-finies composées avec les séries formelles algébriques sont D-finies (dès que la composée a un sens).

Démonstration.

$$P(x, \alpha) = 0 \text{ et } AP + BP_y = 1$$

$$\Rightarrow \alpha' = -\frac{P_x(x, \alpha)}{P_y(x, \alpha)} = (-BP_x \text{ mod } P)(x, \alpha)$$

$$\Rightarrow \alpha^{(k)} \in \bigoplus_{i < \deg_y P} \mathbb{Q}(x)\alpha^i, \text{ qui est de dim. finie.}$$

$(f \circ \alpha)^{(p)}$ est combinaison linéaire des $(f^{(j)} \circ \alpha)\alpha^k \rightarrow \text{alg. linéaire.} \quad \square$

Les séries algébriques sont D-finies

... et même :

Théorème (Abel, ?1820–; Cockle, 1860)

Les séries D-finies composées avec les séries formelles algébriques sont D-finies (dès que la composée a un sens).

Démonstration.

$$P(x, \alpha) = 0 \text{ et } AP + BP_y = 1$$

$$\Rightarrow \alpha' = -\frac{P_x(x, \alpha)}{P_y(x, \alpha)} = (-BP_x \text{ mod } P)(x, \alpha)$$

$$\Rightarrow \alpha^{(k)} \in \bigoplus_{i < \deg_y P} \mathbb{Q}(x)\alpha^i, \text{ qui est de dim. finie.}$$

$(f \circ \alpha)^{(p)}$ est combinaison linéaire des $(f^{(j)} \circ \alpha)\alpha^k \rightarrow$ alg. linéaire. \square

$\exp \int \alpha$ par le même principe.

Nombres de Motzkin (arbres unaires-binaires)

La série génératrice M des arbres unaires-binaires est annulée par :

$$P(x, y) := y - (1 + xy + xy^2).$$

Bézout : $AP + BP_y = 1 \Rightarrow M' = -(BP_x \bmod P)(x, M) = cM + d\mathbf{1}.$

→ Espace vectoriel de dimension 2.

Nombres de Motzkin (arbres unaires-binaires)

La série génératrice M des arbres unaires-binaires est annihilée par :

$$P(x, y) := y - (1 + xy + xy^2).$$

Bézout : $AP + BP_y = 1 \Rightarrow M' = -(BP_x \bmod P)(x, M) = cM + d1.$

→ Espace vectoriel de dimension 2.

> `gfun[algeqtodiffeq](M = 1 + x*M + x*M^2, M(x)) ;`

$$-1 - x + (1 - 3x)M(x) + (x - 6x^2 + x^3)M'(x)$$

> `gfun[diffeqtorec](%, M(x), u(n)) ;`

$$\{nu(n) + (-9 - 6n)u(1 + n) + (3 + n)u(n + 2), u(0) = 1, u(1) = 2\}$$

→ Calcul rapide. **Fonctionne pour un degré arbitraire.**

Forêts d'arbres de Catalan

$$F(z) = \exp\left(\frac{1 - \sqrt{1 - 4z}}{2}\right).$$

Même type de calcul :

$$\{(n+2)(n+1)u(n+2) = u(n) + 2(n+1)(2n+1)u(n+1), \\ u(0) = 1, u(1) = 1\}$$

Exemple d'asymptotique : Fonction de Airy à l'infini

$$\text{Ai}(z) = \frac{\sqrt{z}e^{-\zeta}}{2\pi} \int_{-\infty}^{\infty} e^{-\zeta((u-1)(4u^2+4u+1))} dv, \quad \zeta = \frac{2}{3}z^{3/2}, \quad u = \sqrt{1 + \frac{v^2}{3}}.$$

$$\text{Ai}(z) \sim \frac{1}{2}\pi^{-1/2}z^{-1/4}e^{-\zeta} \sum_{n=0}^{\infty} (-1)^n \zeta^{-n} \frac{\Gamma(3n + \frac{1}{2})}{54^n n! \Gamma(n + \frac{1}{2})}.$$

Exemple d'asymptotique : Fonction de Airy à l'infini

$$\text{Ai}(z) = \frac{\sqrt{z}e^{-\zeta}}{2\pi} \int_{-\infty}^{\infty} e^{-\zeta((u-1)(4u^2+4u+1))} dv, \quad \zeta = \frac{2}{3}z^{3/2}, \quad u = \sqrt{1 + \frac{v^2}{3}}.$$

$$\text{Ai}(z) \sim \frac{1}{2}\pi^{-1/2}z^{-1/4}e^{-\zeta} \sum_{n=0}^{\infty} (-1)^n \zeta^{-n} \frac{\Gamma(3n + \frac{1}{2})}{54^n n! \Gamma(n + \frac{1}{2})}.$$

Calcul :

- ① changement de variables **algébrique** $t^2 = (u-1)(4u^2+4u+1)$

$$\rightarrow \int_{-\infty}^{\infty} e^{-\zeta t^2} f(t) dt, \quad f(t) = \frac{dv}{dt};$$

- ② récurrence vérifiée par les coefficients de f (« **série génératrice** »);
 ③ **intégration terme à terme** (par un produit de Hadamard).



Plan

① Introduction

② Définitions

③ Propriétés de clôture

④ Compléments

Séries D-finies en arithmétique : Formes modulaires

Définition (**Forme modulaire** de poids $k \in \mathbb{Z}$)

f définie pour $\Im z > 0$ telle que $f((az + b)/(cz + d)) = (cz + d)^k f(z)$,
pour toute matrice $\begin{pmatrix} a & b \\ c & d \end{pmatrix}$ de $SL(2, \mathbb{Z})$ ou d'un de ses sous-groupes
d'indice fini. **Fonction modulaire** : forme modulaire de poids 0.

Théorème (XIX^e siècle)

*Soit f une forme modulaire méromorphe de poids $k > 0$ et soit t une
fonction modulaire. Alors, F définie par $F(t(z)) = f(z)$ vérifie une ÉDL
d'ordre $k + 1$ à coefficients algébriques.*

Séries D-finies en arithmétique : Formes modulaires

Définition (**Forme modulaire** de poids $k \in \mathbb{Z}$)

f définie pour $\Im z > 0$ telle que $f((az + b)/(cz + d)) = (cz + d)^k f(z)$, pour toute matrice $\begin{pmatrix} a & b \\ c & d \end{pmatrix}$ de $SL(2, \mathbb{Z})$ ou d'un de ses sous-groupes d'indice fini. **Fonction modulaire** : forme modulaire de poids 0.

Théorème (XIX^e siècle)

Soit f une forme modulaire méromorphe de poids $k > 0$ et soit t une fonction modulaire. Alors, F définie par $F(t(z)) = f(z)$ vérifie une ÉDL d'ordre $k + 1$ à coefficients algébriques.

Ex. [Beukers à propos de la preuve d'Apéry que $\zeta(3) \notin \mathbb{Q}$]

$$t(z) = \left(\frac{\eta(z)\eta(6z)}{\eta(2z)\eta(3z)} \right)^{12}, \quad f(z) = \frac{(\eta(2z)\eta(3z))^7}{(\eta(z)\eta(6z))^5},$$

$$F(t) = 1 + 5t + 73t^2 + \dots = \sum_{n=0}^{\infty} \sum_k \binom{n}{k}^2 \binom{n+k}{k}^2 t^n.$$

Séries D-finies en arithmétique : Non-algébriicité

Définition (E-fonction)

Une **E-fonction** est une série $f = \sum_{n=0}^{\infty} c_n x^n / n! \in K[[x]]$ telle que :

- ① K est une extension algébrique finie de \mathbb{Q} ;
- ② si $\epsilon > 0$, $N(c_n) = O(n^{\epsilon n})$ quand $n \rightarrow \infty$ ($N =$ norme) ;
- ③ pour tout $\epsilon > 0$, il existe des $q_n \in \mathbb{Z}$ tels que $q_n c_k$ soit un entier de K pour $k = 0, \dots, n$, avec la propriété $q_n = O(n^{\epsilon n})$.

Théorème (Siegel–Shidlovskii ; Nesterenko, 1999)

Soient f_1, \dots, f_m des E-fonctions **algébriquement indépendantes** sur $\mathbb{C}(z)$ et formant une solution du système d'équations différentielles

$$y'_k = q_{k,0} + \sum_{j=1}^m q_{k,j} y_j$$

pour des $q_{k,j} \in \mathbb{C}(z)$. Si $\alpha \in \bar{\mathbb{Q}}$ est non nul et n'est pas singularité du système, alors les $f_1(\alpha), \dots, f_m(\alpha)$ sont **algébriquement indépendants**.

Résumé

- ① Les fonctions spéciales qui nous intéressent \approx « nombres algébriques non commutatifs » ;
- ② ÉDLs et ÉRLs peuvent être vus comme une structure de données ;
- ③ Algorithmes pour $+$, \times et la traduction $\text{ÉDL} \leftrightarrow \text{ÉRL}$;
- ④ Plusieurs sources de « D-finitude » (séries algébriques, séries hypergéométriques, séries d'origine arithmétique) ;
- ⑤ Applications à la preuve d'identités, aux calculs de coefficients de développements.

Deuxième partie

Où il sera question de calcul numérique garanti

Plan

- 5 Introduction
- 6 Notions de complexité binaire
- 7 Évaluation rapide d'un terme d'une suite P-réursive
- 8 Évaluation rapide en précision prescrite d'une série de Taylor

Évaluation rapide et garantie d'une fonction D-finie

Le problème, pour $\mathbb{K} := \mathbb{Q}[i]$

$$\left\{ \begin{array}{l} \text{ÉDL à coeffs dans } \mathbb{K}[x], \\ \text{conds initiales dans } \mathbb{K}, \\ \text{point } \xi \text{ dans } \mathbb{K}, \\ \text{précision } p \in \mathbb{N} \end{array} \right. \rightarrow \left\{ \begin{array}{l} \text{Approx. de } f(\xi) \text{ à } 10^{-p} \text{ près,} \\ \text{en temps (quasi-)proportionnel à } p. \end{array} \right.$$

Évaluation rapide et garantie d'une fonction D-finie

Le problème, pour $\mathbb{K} := \mathbb{Q}[i]$

$$\left\{ \begin{array}{l} \text{ÉDL à coeffs dans } \mathbb{K}[x], \\ \text{conds initiales dans } \mathbb{K}, \\ \text{point } \zeta \text{ dans } \mathbb{K}, \\ \text{précision } p \in \mathbb{N} \end{array} \right. \rightarrow \left\{ \begin{array}{l} \text{Approx. de } f(\zeta) \text{ à } 10^{-p} \text{ près,} \\ \text{en temps (quasi-)proportionnel à } p. \end{array} \right.$$

Stratégie

- ① Cas de base où ζ est dans le disque de convergence de la série de Taylor en 0 de f :
 - sommation en temps $\tilde{O}(n)$ de la troncature d'ordre n ;
 - borne effective $n \leq Cp$ garantissant la précision 10^{-p} .
- ② Prolongement analytique effectif.

Application au calcul de constantes :

$\pi, \exp(1), \ln 2, \gamma, \zeta(3), \dots$

Hakmem (1972), Brent (1975), Chudnovsky^{x2} (19{87,88})

Formules qui cachent souvent de la théorie des nombres profonde :

$$\frac{1}{\pi} = \frac{\sqrt{8}}{9801} \sum_{n=0}^{\infty} \frac{(4n)! (1103 + 26390n)}{n!^4 \cdot (4 \cdot 99)^{4n}}, \quad \text{Ramanujan (1914),}$$

$$\frac{1}{\pi} = \frac{1}{53360\sqrt{640320}} \sum_{n=0}^{\infty} \frac{(-1)^n (6n)! (13591409 + 545140134n)}{n!^3 (3n)! (8 \cdot 100100025 \cdot 327843840)^n},$$

Chudnovsky^{x2} (1987).

La dernière est depuis utilisée par Maple et Mathematica :

- Récurrence d'ordre 1 \rightarrow 14 nouveaux chiffres par itération.
- A fourni 4 milliards de chiffres (Chudnovsky^{x2}, 1994) ...
- ... puis 2700 milliards (Bellard, 2009).

Plan

- 5 Introduction
- 6 Notions de complexité binaire**
- 7 Évaluation rapide d'un terme d'une suite P-réursive
- 8 Évaluation rapide en précision prescrite d'une série de Taylor

Complexité binaire pour les opérations dans \mathbb{N}

(Rappels succints.)

Définition

L'**écriture binaire** d'un entier $k \in \mathbb{N}$ est la suite $b_\tau \dots b_0$ telle que $k = \sum_{i=0}^{\tau} b_i \cdot 2^i$ et $b_\tau = 1$ si $k \neq 0$. Sa **taille** est $\lambda(k) := \lceil \log k \rceil = \tau + 1$.

Définition

Un **algorithme binaire** est un algorithme opérant sur des entiers écrits en base 2 et n'effectuant que des opérations sur les bits (additions, produits, comparaisons). (Modèle de calcul RAM.)

Définition

La **complexité binaire** d'un algorithme binaire est une fonction C telle que pour tout $n \in \mathbb{N}$, $C(n)$ soit le plus grand nombre d'opérations binaires effectuées sur des entrées de taille au plus n .

Complexité binaire : l'addition et la multiplication

Addition

L'algorithme de la petite école a complexité $O(n)$.

Multiplication : cas équilibré, $n \times n$

- Algorithme naïf : $I(n) = O(n^2)$.
- Karatsuba (1963) : $I(n) = O(n^{1,59})$.
- Transformée de Fourier rapide :
 $I(n) = O(n \log n \log \log n) = \tilde{O}(n)$, Schönhage & Strassen (1971),
voire meilleur $\tilde{O}(n)$, Fürer (2007).

Complexité binaire : l'addition et la multiplication

Addition

L'algorithme de la petite école a complexité $O(n)$.

Multiplication : cas équilibré, $n \times n$

- Algorithme naïf : $I(n) = O(n^2)$.
- Karatsuba (1963) : $I(n) = O(n^{1,59})$.
- Transformée de Fourier rapide :
 $I(n) = O(n \log n \log \log n) = \tilde{O}(n)$, Schönhage & Strassen (1971),
 voire meilleur $\tilde{O}(n)$, Fürer (2007).

Multiplication : cas déséquilibré, $\alpha n \times n$

Tout modèle : $O(\alpha I(n))$ (algorithme de la petite école sur des blocs).

Complexité binaire : l'addition et la multiplication

Addition

L'algorithme de la petite école a complexité $O(n)$.

Multiplication : cas équilibré, $n \times n$

- Algorithme naïf : $l(n) = O(n^2)$.
- Karatsuba (1963) : $l(n) = O(n^{1.59})$.
- Transformée de Fourier rapide :
 $l(n) = O(n \log n \log \log n) = \tilde{O}(n)$, Schönhage & Strassen (1971),
 voire meilleur $\tilde{O}(n)$, Fürer (2007).

Multiplication : cas déséquilibré, $\alpha n \times n$

Tout modèle : $O(\alpha l(n))$ (algorithme de la petite école sur des blocs).

Hypothèse (toujours vérifiée)

$l(\cdot)$ est croissante et sous-additive : $2l(n/2) \leq l(n)$.

Prototype d'analyse : Karatsuba

Quand les additions sont moins chères que les produits.

$$\begin{aligned}
 & (a_{\uparrow}X + a_{\downarrow})(b_{\uparrow}X + b_{\downarrow}) \\
 &= a_{\uparrow}b_{\uparrow}X^2 + (a_{\uparrow}b_{\downarrow} + a_{\downarrow}b_{\uparrow})X + a_{\downarrow}b_{\downarrow} \\
 &= a_{\uparrow}b_{\uparrow}X^2 + a_{\downarrow}b_{\downarrow} + ((a_{\uparrow} + a_{\downarrow})(b_{\uparrow} + b_{\downarrow}) - a_{\uparrow}b_{\uparrow} - a_{\downarrow}b_{\downarrow})X
 \end{aligned}$$

Prototype d'analyse : Karatsuba

Quand les additions sont moins chères que les produits.

$$\begin{aligned}
 &(a_{\uparrow}X + a_{\downarrow})(b_{\uparrow}X + b_{\downarrow}) \\
 &= a_{\uparrow}b_{\uparrow}X^2 + (a_{\uparrow}b_{\downarrow} + a_{\downarrow}b_{\uparrow})X + a_{\downarrow}b_{\downarrow} \\
 &= a_{\uparrow}b_{\uparrow}X^2 + a_{\downarrow}b_{\downarrow} + ((a_{\uparrow} + a_{\downarrow})(b_{\uparrow} + b_{\downarrow}) - a_{\uparrow}b_{\uparrow} - a_{\downarrow}b_{\downarrow})X
 \end{aligned}$$

<p>4 produits + 1 addition → 3 produits + 4 additions</p>

Prototype d'analyse : Karatsuba

Quand les additions sont moins chères que les produits.

$$\begin{aligned}
 (a_{\uparrow}X + a_{\downarrow})(b_{\uparrow}X + b_{\downarrow}) \\
 &= a_{\uparrow}b_{\uparrow}X^2 + (a_{\uparrow}b_{\downarrow} + a_{\downarrow}b_{\uparrow})X + a_{\downarrow}b_{\downarrow} \\
 &= a_{\uparrow}b_{\uparrow}X^2 + a_{\downarrow}b_{\downarrow} + ((a_{\uparrow} + a_{\downarrow})(b_{\uparrow} + b_{\downarrow}) - a_{\uparrow}b_{\uparrow} - a_{\downarrow}b_{\downarrow})X
 \end{aligned}$$

4 produits + 1 addition \rightarrow 3 produits + 4 additions

Analyse pour $X = n/2$ avec $n = 2^{\ell}$:

$$\begin{aligned}
 C(n) &\leq 3C\left(\frac{n}{2}\right) + Kn \leq 9C\left(\frac{n}{4}\right) + 3K\frac{n}{2} + Kn \leq \dots \\
 &\leq 3^{\ell}C(1) + \left(\frac{(3/2)^{\ell} - 1}{3/2 - 1}\right)Kn = O(3^{\ell}) = O(n^{\log 3}).
 \end{aligned}$$

Plan

- 5 Introduction
- 6 Notions de complexité binaire
- 7 Évaluation rapide d'un terme d'une suite P-réursive**
- 8 Évaluation rapide en précision prescrite d'une série de Taylor

Mise en équation matricielle

À partir de

$$q_r(n)s_{n+r} + \cdots + q_0(n)s_n = 0,$$

on construit

$$S_n := \begin{pmatrix} s_n \\ \vdots \\ s_{n+r-1} \end{pmatrix}, \quad \text{qui vérifie} \quad S_{n+1} = \frac{1}{q_r(n)} M(n) S_n$$

$$\text{avec} \quad M(n) = \begin{pmatrix} 0 & q_r(n) & & & & \\ & 0 & q_r(n) & & & \\ & & \ddots & \ddots & & \\ & & & 0 & q_r(n) & \\ -q_{r-1}(n) & & \dots & & & -q_0(n) \end{pmatrix}.$$

$$w_{n+r} = q_r(n)w_{n+r-1}, \quad S_n = \frac{1}{w_n} (M(n-1) \dots M(0)) S_0, \quad s_n = \frac{v_n}{w_n}.$$

Borne sur les tailles

Borne sur les tailles \rightarrow estimation des complexités.

Borne sur les tailles

Borne sur les tailles \rightarrow estimation des complexités.

Théorème

La taille du numérateur et du dénominateur du n -ième terme d'une suite P-réursive donnée par une récurrence à coefficients dans $\mathbb{Q}[i][n]$ et des conditions initiales dans $\mathbb{Q}[i]$ croît en $O(n \log n)$.

Posons $M(n) = M_d n^d + \dots + M_0$.

Soit $L \geq \|S_0\|_\infty, \|M_0\|_\infty, \dots, \|M_d\|_\infty$.

Alors :

$$\textcircled{1} \quad \|M(n)\|_\infty \leq (d+1)Ln^d,$$

$$\textcircled{2} \quad \|M(n-1) \dots M(0)S_0\|_\infty \leq r^n (d+1)^n L^{n+1} (n!)^d.$$

$$|v_n| \leq \|w_n S_n\|_\infty \Rightarrow \lambda(v_n) = O(n \log n); \quad \text{idem pour } w_n \quad (r = 1).$$

Complexité binaire de l'approche naïve

Algorithme naïf

Dérouler $q_r(n)s_{n+r} + \dots + q_0(n)s_n = 0$ sous la forme

$$\begin{aligned}
 -v_{n+r} &= q_{r-1}(n)v_{n+r-1} \\
 &+ q_{r-2}(n)q_r(n-1)v_{n+r-2} \\
 &+ q_{r-2}(n)q_r(n-1)q_r(n-2)v_{n+r-3} \\
 &+ \dots \\
 &+ q_0(n)q_r(n-1)\dots q_r(n-r+1)v_n.
 \end{aligned}$$

Complexité = $O(n^2 \log n) \gg O(n \log n)$ = taille de la sortie.

- n étapes ;
- chaque étape = $O(1)$ **multiplications déséquilibrées** en tailles $O(\log n) \times O(n \log n)$.

Algorithme rapide par scindage binaire

Scindage binaire

Poser $P(b, a) := M(b-1) \dots M(a)$ pour $b \leq a$. Calculer récursivement

$M(n-1) \dots M(0) = P(n, 0)$ par

$$P(b, a) = P(b, m)P(m, a) \quad \text{avec} \quad m = \lfloor (a+b)/2 \rfloor.$$

Algorithme rapide par scindage binaire

Scindage binaire

Poser $P(b, a) := M(b-1) \dots M(a)$ pour $b \leq a$. Calculer récursivement

$M(n-1) \dots M(0) = P(n, 0)$ par

$$P(b, a) = P(b, m)P(m, a) \quad \text{avec} \quad m = \lfloor (a+b)/2 \rfloor.$$

Borne : $\lambda(P(b, a)) = O(b \log b - a \log a)$

$$\|M(n)\|_{\infty} \leq (d+1)Ln^d \Rightarrow \|P(b, a)\|_{\infty} \leq ((d+1)L)^{b-a} \left(\frac{b!}{a!}\right)^d.$$

Algorithme rapide par scindage binaire

Scindage binaire

Poser $P(b, a) := M(b-1) \dots M(a)$ pour $b \leq a$. Calculer récursivement

$M(n-1) \dots M(0) = P(n, 0)$ par

$$P(b, a) = P(b, m)P(m, a) \quad \text{avec} \quad m = \lfloor (a+b)/2 \rfloor.$$

Borne : $\lambda(P(b, a)) = O(b \log b - a \log a)$

$$\|M(n)\|_{\infty} \leq (d+1)Ln^d \Rightarrow \|P(b, a)\|_{\infty} \leq ((d+1)L)^{b-a} \left(\frac{b!}{a!}\right)^d.$$

Notation : $\lambda_n^{\alpha} := \lambda(\|P(n, (1-\alpha)n)\|_{\infty})$. $\lambda_n^{\alpha} = O((1-\alpha)n \log n)$.

Complexité de l'algorithme rapide

Théorème

Le *scindage binaire* calcule $P(n, 0)$ en *complexité quasi-optimale*
 $O(l(n \log n) \log n) \subseteq \tilde{O}(l(n))$.

Complexité de l'algorithme rapide

Théorème

Le *scindage binaire* calcule $P(n, 0)$ en *complexité quasi-optimale*
 $O(n \log n \log n) \subseteq \tilde{O}(n)$.

Récurrence sur le coût $C(b, a)$ du calcul de $P(b, a) = P(b, m)P(m, a)$:

$$C(b, a) \leq 2C(b, m) + \kappa l(\|\lambda(P(b, m))\|_\infty).$$

Complexité de l'algorithme rapide

Théorème

Le *scindage binaire* calcule $P(n, 0)$ en *complexité quasi-optimale*
 $O(l(n \log n) \log n) \subseteq \tilde{O}(l(n))$.

Récurrence sur le coût $C(b, a)$ du calcul de $P(b, a) = P(b, m)P(m, a)$:

$$C(b, a) \leq 2C(b, m) + \kappa l(\|\lambda(P(b, m))\|_\infty).$$

Simplification $a = 0, b = n = 2^\ell$:

$$\begin{aligned} C(n, 0) &\leq 2C\left(n, \frac{n}{2}\right) + \kappa l\left(\lambda_n^{1/2}\right) \leq 4C\left(n, \frac{3n}{4}\right) + \kappa l\left(\lambda_n^{1/2}\right) + 2\kappa l\left(\lambda_n^{1/4}\right) \\ &\leq \dots \leq 2^i C\left(n, \frac{(2^i - 1)n}{2^i}\right) + \kappa l\left(\lambda_n^{1/2}\right) + \dots + 2^{i-1} \kappa l\left(\lambda_n^{1/2^i}\right) \\ &\leq \dots \leq 2^\ell C\left(n, \frac{n-1}{n}\right) + \ell \kappa l\left(\lambda_n^{1/2}\right) = nO(\log n) + \ell O(l(n \log n)). \end{aligned}$$

Complexité de l'algorithme rapide

Théorème

Le *scindage binaire* calcule $P(n, 0)$ en *complexité quasi-optimale*
 $O(l(n \log n) \log n) \subseteq \tilde{O}(l(n))$.

Récurrence sur le coût $C(b, a)$ du calcul de $P(b, a) = P(b, m)P(m, a)$:

$$C(b, a) \leq 2C(b, m) + \kappa l(\|\lambda(P(b, m))\|_\infty).$$

Simplification $a = 0, b = n = 2^\ell$:

$$\begin{aligned} C(n, 0) &\leq 2C\left(n, \frac{n}{2}\right) + \kappa l\left(\lambda_n^{1/2}\right) \leq 4C\left(n, \frac{3n}{4}\right) + \kappa l\left(\lambda_n^{1/2}\right) + 2\kappa l\left(\lambda_n^{1/4}\right) \\ &\leq \dots \leq 2^i C\left(n, \frac{(2^i - 1)n}{2^i}\right) + \kappa l\left(\lambda_n^{1/2}\right) + \dots + 2^{i-1} \kappa l\left(\lambda_n^{1/2^i}\right) \\ &\leq \dots \leq 2^\ell C\left(n, \frac{n-1}{n}\right) + \ell \kappa l\left(\lambda_n^{1/2}\right) = nO(\log n) + \ell O(l(n \log n)). \end{aligned}$$



Plan

- 5 Introduction
- 6 Notions de complexité binaire
- 7 Évaluation rapide d'un terme d'une suite P-réursive
- 8 Évaluation rapide en précision prescrite d'une série de Taylor**

Récurrance sur les sommes partielles

Soit $f(z) = \sum_{k=0}^{\infty} u_k z^k$ donnée par une ÉDL, et $\zeta \in \mathbb{Q}[i]$ fixé.

→ ÉRL sur les coefficients u_k :

$$p_{r-1}(k)u_{k+r-1} + \cdots + p_0(k)u_k = 0 ;$$

→ ÉRL sur les termes $u_k \zeta^k$:

$$p_{r-1}(k)(u_{k+r-1} \zeta^{k+r-1}) + \cdots + p_0(k) \zeta^{r-1} (u_k \zeta^k) = 0 ;$$

→ ÉRL sur les sommes partielles $s_n := \sum_{k=0}^n u_k \zeta^k$:

$$p_{r-1}(n)(s_{n+r} - s_{n+r-1}) + \cdots + p_0(n) \zeta^{r-1} (s_{n+1} - s_n) = 0,$$

$$\boxed{q_r(n)s_{n+r} + \cdots + q_0(n)s_n = 0,}$$

où les q_i dépendent implicitement de ζ .

Croissances factorielle et exponentielle

Corollaire

La taille du numérateur et du dénominateur de la somme partielle de la série de Taylor tronquée à l'ordre n et évaluée en $\xi \in \mathbb{Q}[i]$ d'une fonction D -finie donnée par une ÉDL à coefficients dans $\mathbb{Q}[x]$ croît en $O(n \log n)$.

Croissances factorielle et exponentielle

Corollaire

La taille du numérateur et du dénominateur de la somme partielle de la série de Taylor tronquée à l'ordre n et évaluée en $\xi \in \mathbb{Q}[i]$ d'une fonction D -finie donnée par une ÉDL à coefficients dans $\mathbb{Q}[x]$ croît en $O(n \log n)$.

Théorème (Poincaré (1885), Perron (1909, 1910, 1921), Kreuser (1914))

Pour une récurrence linéaire d'ordre strictement positif, non-singulière et réversible, il existe $\kappa, \alpha > 0$ et $d \in \mathbb{N}$ non nul tels que :

- ① *Toute solution non asymptotiquement nulle croît en $O(n^d \alpha^n n!^\kappa)$.*
- ② *Il existe une solution vérifiant*

$$\limsup \left(\frac{u_n}{n!^\kappa} \right)^{1/n} \leq \alpha.$$

- ③ *Il y a génériquement égalité.*

Croissances factorielle et exponentielle

Corollaire

La taille du numérateur et du dénominateur de la somme partielle de la série de Taylor tronquée à l'ordre n et évaluée en $\xi \in \mathbb{Q}[i]$ d'une fonction D -finie donnée par une ÉDL à coefficients dans $\mathbb{Q}[x]$ croît en $O(n \log n)$.

Théorème (Poincaré (1885), Perron (1909, 1910, 1921), Kreuser (1914))

Pour une récurrence linéaire d'ordre strictement positif, non-singulière et réversible, il existe $\kappa, \alpha > 0$ et $d \in \mathbb{N}$ non nul tels que :

- ① *Toute solution non asymptotiquement nulle croît en $O(n^d \alpha^n n!^\kappa)$.*
- ② *Il existe une solution vérifiant*

$$\limsup \left(\frac{u_n}{n!^\kappa} \right)^{1/n} \leq \alpha.$$

- ③ *Il y a génériquement égalité.*

κ s'obtient en considérant le **polygone de Newton** de la récurrence.

Ordre de troncature pour un calcul rapide à 10^{-p} près

Sous les hypothèses $|u_k| \leq Ck^d \alpha^k$ et $z < 1/\beta < 1/\alpha$,

$$|f(z) - s_n| = \left| \sum_{k=n+1}^{\infty} u_k z^k \right| \leq C \sum_{k=n+1}^{\infty} k^d \left(\frac{\alpha}{\beta} \right)^k |\beta z|^{n+1} \leq D |\beta z|^n.$$

Ainsi :

$$|f(z) - s_n| \leq 10^{-p} \iff n \geq \frac{p \log 10 + \log D}{-\log |\beta z|} = O(p).$$

Théorème (Chudnovsky^{×2} (1988), Van der Hoeven (1999–), Mezzarobba & Salvy (2009–))

Le calcul de $f(z)$ à 10^{-p} près se fait en complexité binaire $\tilde{O}(p)$.

Ordre de troncature pour un calcul rapide à 10^{-p} près

Sous les hypothèses $|u_k| \leq Ck^d \alpha^k$ et $z < 1/\beta < 1/\alpha$,

$$|f(z) - s_n| = \left| \sum_{k=n+1}^{\infty} u_k z^k \right| \leq C \sum_{k=n+1}^{\infty} k^d \left(\frac{\alpha}{\beta} \right)^k |\beta z|^{n+1} \leq D |\beta z|^n.$$

Ainsi :

$$|f(z) - s_n| \leq 10^{-p} \iff n \geq \frac{p \log 10 + \log D}{-\log |\beta z|} = O(p).$$

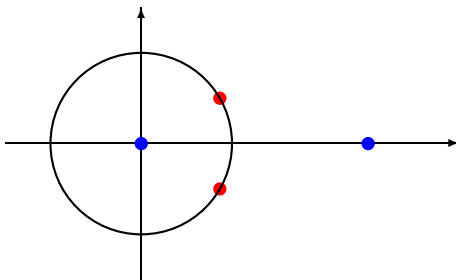
Théorème (Chudnovsky^{×2} (1988), Van der Hoeven (1999–), Mezzarobba & Salvy (2009–))

Le calcul de $f(z)$ à 10^{-p} près se fait en complexité binaire $\tilde{O}(p)$.

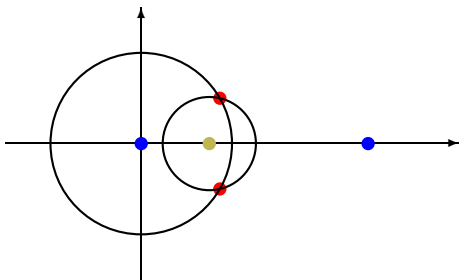
Majoration efficaces par théorie effective des **séries majorantes**.



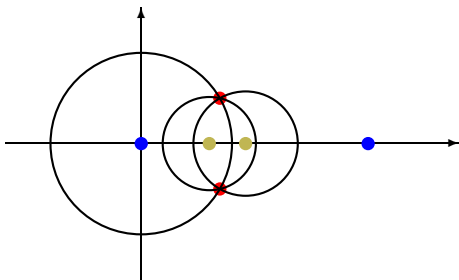
Prolongement analytique effectif



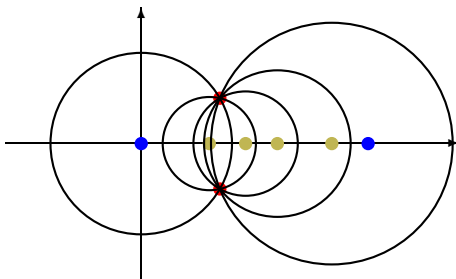
Prolongement analytique effectif



Prolongement analytique effectif



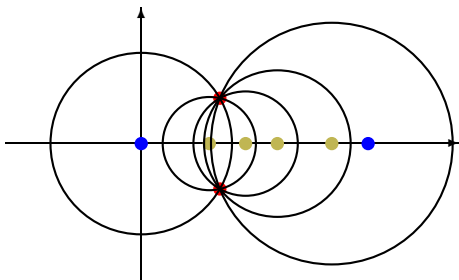
Prolongement analytique effectif



Chemin : $0 \rightarrow 1,5 \rightarrow$
 $2,3 \rightarrow 3 \rightarrow 4,22 \rightarrow 5.$



Prolongement analytique effectif



Chemin : $0 \rightarrow 1,5 \rightarrow$
 $2,3 \rightarrow 3 \rightarrow 4,22 \rightarrow 5.$



Pour les conditions initiales en ζ , évaluer f en $z = \zeta + \epsilon$:

$$f(z) = f(\zeta) + f'(\zeta)\epsilon + \frac{1}{2}f''(\zeta)\epsilon^2 + \cdots + \frac{1}{(r-1)!}f^{(r-1)}(\zeta)\epsilon^{r-1} + O(\epsilon^r).$$

Calculs avec $M(n) \in \mathcal{M}_r(\mathbb{Z}[i, \epsilon, n]/(\epsilon^r)) \simeq \mathcal{M}_r(\mathbb{Z}[i, n])[\epsilon]/(\epsilon^r)$.
 Même dépendance de la complexité en la précision p .

Conclusions

- ① L'algorithmique des séries rapide et une mise en œuvre effective soignée de la théorie effective des séries majorantes fournit un algorithme d'évaluation numérique à la fois garanti et en temps quasi-linéaire en la précision visée.
- ② Restent des cas plus difficiles :
 - $z \in \bar{\mathbb{Q}}$ ou z de grande hauteur : algorithme *bit burst* ;
 - singularités régulières : $\ln z$;
 - singularités essentielles : parties exponentielles + phénomènes de Stokes.
- ③ Génération de code C, Fortran ou autre.

Troisième partie

Où il sera question de web mathématique

Mathématiques sur le web : du statique au dynamique

Mathématiques **actuelles** sur le web = Livres de maths + Web :

- vérifiées par des **humains**, propices aux **erreurs**,
- présentation et contenu essentiellement **statiques**.

Exemples imposants :

- Le **MathWorld** de Wolfram,
- Le **Digital Library of Mathematical Functions** du NIST.

Cas particulier : **Wolfram Alpha**.

Notre but = Mathématiques dynamiques sur le web =

- contrôler **interactivement** des calculs **incrémentaux**,
- **programmer** la structure des pages web.

Les **interfaces s'appuient toutes** sur une **syntaxe** du calcul formel :

- shell (= un shell texte),
- GUI (= un shell graphique),
- en ligne (= un shell sur le web).

Exemples : les **bloc-notes de Sage**.


Nos buts :

- **cacher la syntaxe** des non-experts du calcul formel,
- **pas seulement du calcul formel** sur le web, mais aussi une **interface programmable**.

Dictionnaire en ligne des fonctions spéciales

Encyclopedia of Special Functions (ESF, 2001–2003) 

ESF = Manuels mathématiques + Calcul formel + Web statique

Dynamic Dictionary of Special Functions (DDMF, 2008–) 

DDMF = Manuels mathématiques + Calcul formel + Web interactif

Dynamic Mathematics on the Web (DynaMoW)

- ① Génération **dynamique** de documents par le calcul formel
→ Interactivité et calculs incrémentaux.
- ② La **trace du calcul** symbolique fait partie de la sortie
→ Écriture automatique de preuves / certification des résultats.
- ③ **Extraction of code** de calcul formel
→ Bibliothèques de CF indépendantes.

DDMF = ESF + DynaMoW



Travail en cours → notation instable.

Librairie ocaml à base de **quotations** et d'**antiquotations**

```
let x = <:symb< expression symbolique >>  
and n = 23 + <:int< expression symbolique calculant un entier >>  
in  
<:unit< définition d'une fonction symbolique f >> ;  
let s = <:symb< f($(symb:x), $(int:n)) >>  
in  
<:doc< Début de la phrase <:imath< latex $(int:n) encore du latex >>  
  milieu de la phrase  
  <:imath< <:symb< expression symbolique >> = $(symb:s) >>  
  fin de la phrase.  
>>
```

Page web paramétrée = service web, typés par ocaml

```
DynaMoW.Services.register "SrvName" SrvName.run  
...  
SrvName.call v_1 v_2 ...
```

- ① DDMF = Manuels mathématiques + Calcul formel + Web interactif ;
- ② DynaMoW = ocaml + quotations + antiquotations ;
- ③ camlp4 ne type pas \rightarrow trop d'annotations de types ;
- ④ Autre application codée en DynaMoW : *Encyclopedia of Combinatorial Structures (ECS)* ;
- ⑤ Enseignement/auto-enseignement en ligne ?

Quatrième partie

Où il sera question de sommes et d'intégrales

Plan

- 9 Introduction
- 10 Clôtures algébriques
- 11 Clôtures sous Σ et \int
- 12 Conclusion

Exemples : Sommes et intégrales


$$\sum_{k=0}^n \binom{n}{k}^2 \binom{n+k}{k}^2 = \sum_{k=0}^n \binom{n}{k} \binom{n+k}{k} \sum_{j=0}^k \binom{k}{j}^3 \quad \text{Strehl (1992)}$$

$$\sum_{i=0}^n \sum_{j=0}^n \binom{i+j}{i}^2 \binom{4n-2i-2j}{2n-2i} = (2n+1) \binom{2n}{n}^2 \quad \text{Blodgelt (1990)}$$

$$\int_0^{+\infty} x J_1(ax) I_1(ax) Y_0(x) K_0(x) dx = -\frac{\ln(1-a^4)}{2\pi a^2} \quad \text{GIMo (1994)}$$

$$\frac{1}{2\pi i} \oint \frac{(1+2xy+4y^2) \exp\left(\frac{4x^2y^2}{1+4y^2}\right)}{y^{n+1}(1+4y^2)^{\frac{3}{2}}} dy = \frac{H_n(x)}{[n/2]!} \quad \text{Doetsch (1930)}$$

$$\int_0^\infty \int_0^\infty J_1(x) J_1(y) J_2(c\sqrt{xy}) \frac{dx dy}{e^{x+y}} \quad \text{vérifient une ÉDL d'ordre 2}$$

+ beaucoup, beaucoup d'autres, par exemple dans, 

Exemples : q -sommations, transformées intégrales et fonctions symétriques

$$\sum_{k=0}^n \frac{q^{k^2}}{(q; q)_k (q; q)_{n-k}} = \sum_{k=-n}^n \frac{(-1)^k q^{(5k^2-k)/2}}{(q; q)_{n-k} (q; q)_{n+k}}$$

Andrews (1974)

$$\sum_{j=0}^n \sum_{i=0}^{n-j} \frac{q^{(i+j)^2+j^2}}{(q; q)_{n-i-j} (q; q)_i (q; q)_j} = \sum_{k=-n}^n \frac{(-1)^k q^{7/2k^2+1/2k}}{(q; q)_{n+k} (q; q)_{n-k}}$$

Paule (1985)

$$\int_{-1}^{+1} \frac{e^{-px} T_n(x)}{\sqrt{1-x^2}} dx = (-1)^n \pi I_n(p)$$

$$\int_0^{+\infty} x e^{-px^2} J_n(bx) I_n(cx) dx = \frac{1}{2p} \exp\left(\frac{c^2 - b^2}{4p}\right) J_n\left(\frac{bc}{2p}\right)$$

$$\left\langle \exp((p_1^2 - p_2)/2 - p_2^2/4) \mid \exp(t(p_1^2 + p_2)/2) \right\rangle = \frac{e^{-\frac{1}{4}t(t+2)}}{\sqrt{1-t}}$$

Exemples : Sommes et intégrales non-« holonomes »

$$\sum_{k=0}^n \binom{n}{k} i(k+i)^{k-1} (n-k+j)^{n-k} = (n+i+j)^n \quad \text{Abel (1826)}$$

$$\sum_{k=0}^n (-1)^{m-k} k! \binom{n-k}{m-k} \left\{ \begin{matrix} n+1 \\ k+1 \end{matrix} \right\} = \left\langle \begin{matrix} n \\ m \end{matrix} \right\rangle \quad \text{Frobenius (1910)}$$

$$\sum_{k=0}^m \binom{m}{k} B_{n+k} = (-1)^{m+n} \sum_{k=0}^n \binom{n}{k} B_{m+k} \quad \text{Gessel (2003)}$$

$$\int_0^{\infty} x^{k-1} \zeta(n, \alpha + \beta x) dx = \beta^{-k} B(k, n-k) \zeta(n-k, \alpha)$$

$$\int_0^{\infty} x^{\alpha-1} \text{Li}_n(-xy) dx = \frac{\pi(-\alpha)^n y^{-\alpha}}{\sin(\alpha\pi)}$$

$$\int_0^{\infty} x^{s-1} \exp(xy) \Gamma(a, xy) dx = \frac{\pi y^{-s}}{\sin((a+s)\pi)} \frac{\Gamma(s)}{\Gamma(1-a)}$$

« holonome » \approx D-fini.

Deux idées — Plusieurs générations d'algorithmes

Idées

- **Confinement en dimension vectorielle finie**
→ clôtures (multivariées) sous les opérations algébriques
- **Télescopage créatif** (\approx dérivation sous le signe intégral)
→ clôtures sous $\int, \Sigma, \langle \dots | \dots \rangle$

Classes d'entrées

- (q -)hypergéométrique/hyperexponentielle : Zeilberger (1990), Paule & Schorn (1995); Riese (2003); Almkvist & Zeilberger (1990)
- équa. d'ordres supérieurs : Zeilberger (1990), Takayama (1989–90), Chyzak & Salvy (1998), Chyzak (2000)
- types Abel/Stirling/Euler et Bernoulli : Majewicz (1996); Kauers (2007); Chen & Sun (2009)
- les précédents et plus : Chyzak, Kauers & Salvy (2009)

Plan

9 Introduction

10 Clôtures algébriques

11 Clôtures sous Σ et \int

12 Conclusion

Avant les exemples, rappelons ...

La série **hypergéométrique** de Gauss,

$${}_2F_1\left(\begin{matrix} a, b \\ c \end{matrix} \middle| x\right) := \sum_{n=0}^{\infty} u_n x^n \quad \text{pour} \quad u_n := \frac{(a)_n (b)_n}{(c)_n n!}, \quad \text{est solution de}$$

$$(\theta + c - 1)\theta(F) = x(\theta + a)(\theta + b)(F) \quad \text{pour} \quad \theta := x \frac{d}{dx},$$

$$\text{car} \quad \frac{u_{n+1}}{u_n} = \frac{(n+a)(n+b)}{(n+c)(n+1)}.$$

$$\theta^2(F) \in \langle F, \theta(F) \rangle \quad (\text{sur } \mathbb{Q}(a, b, c)(x))$$

Ceci se généralise à ${}_pF_q\left(\begin{matrix} a_1, \dots, a_p \\ b_1, \dots, b_q \end{matrix} \middle| x\right) := \sum_{n=0}^{\infty} \frac{(a_1)_n \dots (a_p)_n}{(b_1)_n \dots (b_q)_n n!} x^n.$

Clôtures algébriques par confinement vectoriel (1)

Rappel : $F = {}_2F_1\left(\begin{matrix} \alpha, \beta \\ \gamma \end{matrix} \middle| x\right) \Rightarrow \theta^2(F) \in \langle F, \theta(F) \rangle$ (sur $\mathbb{Q}(\alpha, \beta, \gamma)(x)$).

Clôtures algébriques par confinement vectoriel (1)

Rappel : $F = {}_2F_1\left(\begin{matrix} \alpha, \beta \\ \gamma \end{matrix} \middle| x\right) \Rightarrow \theta^2(F) \in \langle F, \theta(F) \rangle$ (sur $\mathbb{Q}(\alpha, \beta, \gamma)(x)$).

Exemple d'un produit de séries génératrices : l'identité de Clausen,

$${}_2F_1\left(\begin{matrix} a, b \\ a + b + 1/2 \end{matrix} \middle| x\right)^2 = {}_3F_2\left(\begin{matrix} 2a, 2b, a + b \\ 2(a + b), a + b + 1/2 \end{matrix} \middle| x\right).$$

Clôtures algébriques par confinement vectoriel (1)

Rappel : $F = {}_2F_1\left(\begin{matrix} \alpha, \beta \\ \gamma \end{matrix} \middle| x\right) \Rightarrow \theta^2(F) \in \langle F, \theta(F) \rangle$ (sur $\mathbb{Q}(\alpha, \beta, \gamma)(x)$).

Exemple d'un produit de séries génératrices : l'identité de Clausen,

$${}_2F_1\left(\begin{matrix} a, b \\ a + b + 1/2 \end{matrix} \middle| x\right)^2 = {}_3F_2\left(\begin{matrix} 2a, 2b, a + b \\ 2(a + b), a + b + 1/2 \end{matrix} \middle| x\right).$$

Preuve : Après avoir fait $f = g^2$,

- ① $f \in \langle g^2 \rangle$, $\theta(f) = 2g\theta(g) \in \langle g\theta(g) \rangle$,
 $\theta^2(f) \in \langle \theta(g)^2, g\theta^2(g) \rangle \subset \langle g^2, g\theta(g), \theta(g)^2 \rangle =: V$,
 $\theta^3(f) \in \langle g^2, g\theta(g), \theta(g)^2, g\theta^2(g), \theta(g)\theta^2(g) \rangle \subset V$.
- ② 4 vecteurs en dim. 3 \rightarrow ÉDL d'ordre 3 pour f (**confinement**).
- ③ Même ÉDL pour la ${}_3F_2$ + coïncident jusqu'à $O(x^4)$ + th. de Cauchy.

Clôture algébrique par confinement vectoriel (2)

Exemple of la série génératrice d'un produit : identité de Mehler sur les polynômes de Hermite,

$$\sum_{n=0}^{\infty} H_n(x)H_n(y) \frac{u^n}{n!} = \frac{\exp\left(\frac{4u(xy-u(x^2+y^2))}{1-4u^2}\right)}{\sqrt{1-4u^2}}.$$

Preuve :

- ① Définissons les polynômes de Hermite $H_n(t)$ (D-finis sur $\mathbb{Q}(t)(n)$) : récurrence d'ordre 2 ;
- ② Pour le produit, introduisons la base vectorielle sur $\mathbb{Q}(x, y)(n)$

$$\frac{H_n(x)H_n(y)}{n!}, \frac{H_{n+1}(x)H_n(y)}{n!}, \frac{H_n(x)H_{n+1}(y)}{n!}, \frac{H_{n+1}(x)H_{n+1}(y)}{n!}$$

→ récurrence d'ordre au plus 4 ;

(confinement)

- ③ Traduire en équation différentielle et résoudre.

Un confinement multivarié induit plusieurs relations

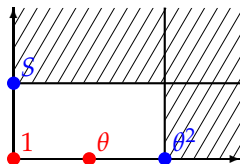
Exemple (Gauss, 1812) : La relation de contiguïté pour la série hypergéométrique,

$$F(a, x) := {}_2F_1\left(\begin{matrix} a, b \\ c \end{matrix} \middle| x\right) := \sum_{n=0}^{\infty} u_{a,n} x^n, \quad u_{a,n} := \frac{(a)_n (b)_n}{(c)_n n!}.$$

$$\frac{u_{a,n+1}}{u_{a,n}} = \frac{(a+n)(b+n)}{(c+n)(n+1)} \rightarrow (1-x)\theta^2(F) = ((a+b)x + 1 - c)\theta(F) + abx F,$$

$$\frac{u_{a+1,n}}{u_{a,n}} = \frac{n}{a} + 1 \rightarrow S(F) := F(a+1, x) = \frac{1}{a}\theta(F) + F.$$

$\dim. = 2 \Rightarrow S^2(F), S(F), F$ sont dépendants sur $\mathbb{Q}(b, c)(a, z)$:



$$(a+1)(x-1)S^2(F) + ((b-a-1)x + 2 - c + 2a)S(F) + (c-a-1)F = 0$$

Algèbres de Ore

Définition (Ore, 1933)

La bonne définition de $A\langle\partial\rangle$ pour que $\partial a = \sigma(a)\partial + \delta(a)$.

Soit un anneau A muni d'un endomorphisme σ et d'une σ -dérivation $\delta : \delta(ab) = \sigma(a)\delta(b) + \delta(a)b$.

L'anneau de polynômes tordus $A\langle\partial; \sigma, \delta\rangle$ est la A -algèbre associative engendrée par ∂ et les relations $\partial a = \sigma(a)\partial + \delta(a)$, $a \in A$.

Exemples : $\partial a = a\partial + da/dx$ dans $A\langle\partial; \text{id}, d/dx\rangle$; $\partial(a(n)) = a(n+1)\partial$ dans $A\langle\partial; S, 0\rangle$.

Algèbres de Ore

Définition (Ore, 1933)

La bonne définition de $A\langle\partial\rangle$ pour que $\partial a = \sigma(a)\partial + \delta(a)$.

Soit un anneau A muni d'un endomorphisme σ et d'une σ -dérivation $\delta : \delta(ab) = \sigma(a)\delta(b) + \delta(a)b$.

L'anneau de polynômes tordus $A\langle\partial; \sigma, \delta\rangle$ est la A -algèbre associative engendrée par ∂ et les relations $\partial a = \sigma(a)\partial + \delta(a)$, $a \in A$.

Exemples : $\partial a = a\partial + da/dx$ dans $A\langle\partial; \text{id}, d/dx\rangle$; $\partial(a(n)) = a(n+1)\partial$ dans $A\langle\partial; S, 0\rangle$.

En itérant : $A\langle\partial_1; \sigma_1, \delta_1\rangle\langle\partial_2; \sigma_2, \delta_2\rangle \rightarrow \partial_2\partial_1 = ?$.

Algèbres de Ore

Définition (Ore, 1933)

La bonne définition de $A\langle\partial\rangle$ pour que $\partial a = \sigma(a)\partial + \delta(a)$.

Soit un anneau A muni d'un endomorphisme σ et d'une σ -dérivation $\delta : \delta(ab) = \sigma(a)\delta(b) + \delta(a)b$.

L'anneau de polynômes tordus $A\langle\partial; \sigma, \delta\rangle$ est la A -algèbre associative engendrée par ∂ et les relations $\partial a = \sigma(a)\partial + \delta(a)$, $a \in A$.

Exemples : $\partial a = a\partial + da/dx$ dans $A\langle\partial; \text{id}, d/dx\rangle$; $\partial(a(n)) = a(n+1)\partial$ dans $A\langle\partial; S, 0\rangle$.

En itérant : $A\langle\partial_1; \sigma_1, \delta_1\rangle\langle\partial_2; \sigma_2, \delta_2\rangle \rightarrow \partial_2\partial_1 = ?$.

Définition (Chyzak & Salvy, 1998)

La bonne définition de $A\langle\partial_1, \dots, \partial_r\rangle$ pour que $\partial_i\partial_j = \partial_j\partial_i$.

Soit une k -algèbre commutative A muni d'endomorphismes $\sigma_1, \dots, \sigma_r$ et de morphismes k -linéaires $\delta_1, \dots, \delta_r$ tels que chaque δ_i soit une σ_i -dérivation, et vérifiant $\sigma_i\sigma_j = \sigma_j\sigma_i$, $\delta_i\delta_j = \delta_j\delta_i$, $\sigma_i\delta_j = \delta_j\sigma_i$ dès que $i \neq j$. L'algèbre de Ore $A\langle\partial_1, \dots, \partial_r; \sigma_1, \dots, \sigma_r, \delta_1, \dots, \delta_r\rangle$ est la A -algèbre associative engendrée par $\partial_1, \dots, \partial_r$ et les relations $\partial_i a = \sigma_i(a)\partial_i + \delta_i(a)$, $a \in A$, $1 \leq i \leq r$.

Exemple : $\mathbb{Q}(a, z)\langle\partial_1, \partial_2; S, \text{id}, 0, D\rangle$.

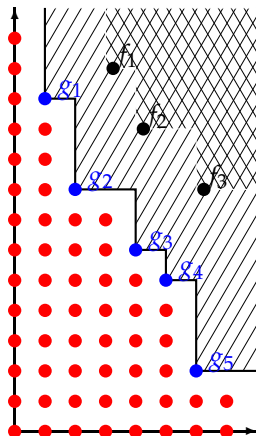
Cours accéléré sur les bases de Gröbner

Généralisent la division euclidienne et l'algorithme du p. g. c. d.

- 1 **Ordre monomial** : ordre total \prec sur les monômes, compatible avec le produit, d'élément minimal 1
- 2 **Base de Gröbner** d'un idéal (à gauche) I par rapport à \prec : générateurs **épousant l'escalier** de I

$$\text{BG}(f_1, f_2, f_3) = (g_1, \dots, g_5)$$

- 3 **Quotient** : base vectorielle **sous l'escalier**
- 4 **Réduction** de P modulo I : son reste unique écrit sur cette base



Bases de Gröbner : cas commutatif, cas tordu

Théorie algorithmique commutative

- Fondements : Hironaka (1964); Buchberger (1965)
- Améliorations algolithmiques : Faugère, Giani, Lazard & Mora (1993); Faugère F4 (1999), F5 (2002)
- Complexité : Bardet, Faugère & Salvy (2004), Bardet, Faugère, Salvy & Yang (2005)

Théorie algorithmique pour les opérateurs linéaires

- Précurseurs en différentiel : Galligo (1985), Takayama (1989, 1990)
- Cadre général : Kredel (1993); Chyzak & Salvy (1998)

Dimension des idéaux et fonctions ∂ -finies

$$M_s(I) := \langle m : m \text{ est sous d'escalier et de degré total } \leq s \rangle$$

Théorème (Hilbert)

Pour tout I , il existe un entier $\delta(I)$ tel que $\text{card } M_s(I) = O(s^{\delta(I)})$.

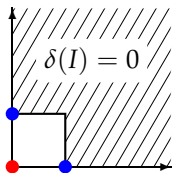
- $\delta(I)$ est la dimension (de Hilbert) de I .
- Mesure finie d'espaces vectoriels de dimension infinie.
- Peut être obtenue par un calcul de base de Gröbner.
- $I \subset J \Rightarrow \delta(I) \geq \delta(J)$

Définition (annulateur et ∂ -finitude)

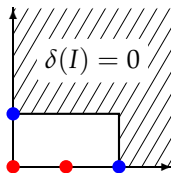
- $\text{ann } f \subset \mathcal{R} = \{P \in \mathcal{R} : P(f) = 0\}$
- f est ∂ -finie \Leftrightarrow dim. linéaire du quotient est finie $\Leftrightarrow \delta(\text{ann } f) = 0$

Exemples

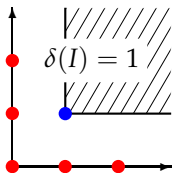
Coeffs du binôme $\binom{n}{k}$ p. r. à S_n, S_k ;
Suites hypergéométriques :



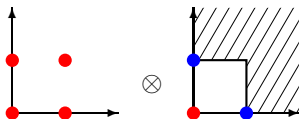
F. de Bessel $J_\nu(x)$ p. r. à S_ν, D_x ;
Polys orthogonaux p. r. à S_n, D_x :



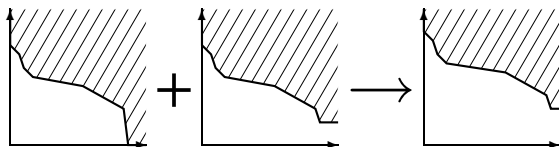
Nbs de Stirling p. r. à S_n, S_k :



Type « Abel » p. r. à S_m, S_k, S_r, S_s ,
 $\delta(I) = 2$



Propriétés de clôture



Proposition

$$\delta(\text{ann}(f + g)) \leq \max(\delta(\text{ann}f), \delta(\text{ann}g)),$$

$$\delta(\text{ann}fg) \leq \delta(\text{ann}f) + \delta(\text{ann}g), \quad \delta(\text{ann} \partial f) \leq \delta(\text{ann}f).$$

Algorithme (pour le produit fg) : pour un ordre *gradué*,

pour $s = 0, 1, 2, \dots$, jusqu'à ce que $\delta(I) \leq$ borne :

pour chaque $|\alpha| \leq s$, réduire $\partial^\alpha(fg)$ en une somme $\sum u_{\alpha;\beta,\gamma}(x) \partial^\beta(f) \partial^\gamma(g)$
sur $\beta \in M_s(\text{ann}f)$, $\gamma \in M_s(\text{ann}g)$

chercher des relations $Q(x)$ -linéaires, fixer I à l'idéal qu'elles engendrent
renvoyer I , un sous-idéal de $\text{ann}fg$

Produit de nombres de Stirling de deuxième espèce

$\left\{ \begin{smallmatrix} n \\ k \end{smallmatrix} \right\}$ et $\left\{ \begin{smallmatrix} m \\ k \end{smallmatrix} \right\}$, donnés par $\delta(I_1) = \delta(I_2) = 1$:

$$\begin{aligned} \left\{ \begin{smallmatrix} n+1 \\ k+1 \end{smallmatrix} \right\} &= (k+1) \left\{ \begin{smallmatrix} n \\ k+1 \end{smallmatrix} \right\} - \left\{ \begin{smallmatrix} n \\ k \end{smallmatrix} \right\}, & \Delta_m \left\{ \begin{smallmatrix} n \\ k \end{smallmatrix} \right\} &= 0, \\ \Delta_n \left\{ \begin{smallmatrix} m \\ k \end{smallmatrix} \right\} &= 0, & \left\{ \begin{smallmatrix} m+1 \\ k+1 \end{smallmatrix} \right\} &= (k+1) \left\{ \begin{smallmatrix} m \\ k+1 \end{smallmatrix} \right\} - \left\{ \begin{smallmatrix} m \\ k \end{smallmatrix} \right\}. \end{aligned}$$

$\left\{ \begin{smallmatrix} n \\ k \end{smallmatrix} \right\} \left\{ \begin{smallmatrix} m \\ k \end{smallmatrix} \right\}$: Calculs jusqu'à $s = 3 \rightarrow \binom{6}{3} = 20 > 19 = \dim M_3(I)$.

$$S_n S_m S_k - (k+1) S_n S_k - (k+1) S_m S_k + (k+1)^2 S_k - 1 \rightarrow \delta(I) = 2.$$

$$\begin{aligned} \left\{ \begin{smallmatrix} n+1 \\ k+1 \end{smallmatrix} \right\} \left\{ \begin{smallmatrix} m+1 \\ k+1 \end{smallmatrix} \right\} &- (k+1) \left\{ \begin{smallmatrix} n+1 \\ k+1 \end{smallmatrix} \right\} \left\{ \begin{smallmatrix} m \\ k+1 \end{smallmatrix} \right\} - (k+1) \left\{ \begin{smallmatrix} n \\ k+1 \end{smallmatrix} \right\} \left\{ \begin{smallmatrix} m+1 \\ k+1 \end{smallmatrix} \right\} \\ &+ (k+1)^2 \left\{ \begin{smallmatrix} n \\ k+1 \end{smallmatrix} \right\} \left\{ \begin{smallmatrix} m \\ k+1 \end{smallmatrix} \right\} - \left\{ \begin{smallmatrix} n \\ k \end{smallmatrix} \right\} \left\{ \begin{smallmatrix} m \\ k \end{smallmatrix} \right\} = 0. \end{aligned}$$

Plan

- 9 Introduction
- 10 Clôtures algébriques
- 11 Clôtures sous Σ et \int**
- 12 Conclusion

Sommation par télescopage créatif, le prototype

But : évaluer $S_n := \sum_{k=0}^n \binom{n}{k}$ à 2^n .

Sommation par télescope créatif, le prototype

But : évaluer $S_n := \sum_{k=0}^n \binom{n}{k}$ à 2^n .

Étant donné la règle du triangle de Pascal,

$$\binom{n+1}{k+1} = \binom{n}{k} + \binom{n}{k+1} = 2\binom{n}{k} + \binom{n}{k+1} - \binom{n}{k},$$

une sommation sur $k \in \mathbb{Z}$ fournit $S_{n+1} = 2S_n$.

La condition initiale $S_0 = 1$ conclut la preuve.

Télescopage créatif, cas des sommes (Zeilberger, 1990)

$$U_n = \sum_{k=a}^b u_{n,k} = ?$$

Étant donné $A(n, S_n)$ et $B(n, k, S_n, S_k)$ tels que

$$(A(n, S_n) + \Delta_k B(n, k, S_n, S_k))(u)(n, k) = 0,$$

une sommation mène par « télescopage » à

$$A(n, S_n)(U)(n) = [B(n, k, S_n, S_k)(u)(n, k)]_{k=a}^{k=b+1} \stackrel{\text{souvent}}{=} 0.$$

Ceci s'adapte aisément à $U(x) = \sum_{k=a}^b u_k(x)$.

Télescopage créatif, cas des intégrales (Zeilberger, 1990)

$$U(x) = \int_a^b u(x, y) dy = ?$$

Étant donné $A(x, D_x)$ et $B(x, y, D_x, D_y)$ tels que

$$(A(x, D_x) + D_y B(x, y, D_x, D_y))(u)(x, y) = 0,$$

une intégration mène par « télescopage » à

$$A(x, D_x)(U)(x) = [B(x, y, D_x, D_y)(u)(x, y)]_{y=a}^{y=b} \stackrel{\text{souvent}}{=} 0.$$

Ceci s'adapte aisément à $U_n = \int_a^b u_n(y) dy$.

Télescopage créatif et intégration par parties

$$\text{Exemple : } U(x) := \int_0^1 \frac{\cos xy}{\sqrt{1-y^2}} dy = ? \quad U'(x) = \int_0^1 -y \frac{\sin xy}{\sqrt{1-y^2}} dy,$$

$$U''(x) = \int_0^1 -y^2 \frac{\cos xy}{\sqrt{1-y^2}} dy = -U(x) + \int_0^1 \sqrt{1-y^2} \cos xy dy,$$

$$U''(x) + U(x) = \left[\sqrt{1-y^2} \frac{\sin xy}{x} \right]_{y=0}^{y=1} + \int_0^1 \frac{y}{\sqrt{1-y^2}} \frac{\sin xy}{x} dy = -\frac{U'(x)}{x}.$$

$$U''(x) + \frac{U'(x)}{x} + U(x) = \left[-\frac{1-y^2}{xy} D_x(u)(x, y) \right]_{y=0}^{y=1} = 0.$$

$$D_x^2 + \frac{1}{x} D_x + 1 + D_y \frac{1-y^2}{xy} D_x \in \text{ann } u \quad \rightarrow \quad U(x) = J_0(x).$$

Télescopage créatif = différences finies sous la somme + sommation par parties
 Télescopage créatif = différentiation sous l'intégrale + intégration par parties

Redécouverte de la règle du triangle de Pascal

Par la méthode de Fasenmyer (1945, 1947), réduisons tous les monômes de degré $\leq s = 2$ modulo $\text{ann} \binom{n}{k}$:



$$1 \rightarrow \mathbf{1}, \quad S_n \rightarrow \frac{n+1}{n+1-k} \mathbf{1}, \quad S_k \rightarrow \frac{n-k}{k+1} \mathbf{1},$$

$$S_n^2 \rightarrow \frac{(n+2)(n+1)}{(n+2-k)(n+1-k)} \mathbf{1}, \quad S_k^2 \rightarrow \frac{(n-k-1)(n-k)}{(k+2)(k+1)} \mathbf{1}, \quad S_n S_k \rightarrow \frac{n+1}{k+1} \mathbf{1}.$$

Dénominateur commun : $D_2 = (k+1)(k+2)(n+1-k)(n+2-k)$.

$$D_2, D_2 S_n, D_2 S_k, D_2 S_n^2, D_2 S_k^2, D_2 S_n S_k \text{ confinés dans } \mathbb{Q}(n)[k]_{\leq 4}$$

$$\rightarrow D_2(S_n S_k - S_k - 1) \in \text{ann} \binom{n}{k}.$$

Redécouverte de la règle du triangle de Pascal

Par la méthode de Fasenmyer (1945, 1947), réduisons tous les monômes de degré $\leq s = 2$ modulo $\text{ann} \binom{n}{k}$:



$$1 \rightarrow \mathbf{1}, \quad S_n \rightarrow \frac{n+1}{n+1-k} \mathbf{1}, \quad S_k \rightarrow \frac{n-k}{k+1} \mathbf{1},$$

$$S_n^2 \rightarrow \frac{(n+2)(n+1)}{(n+2-k)(n+1-k)} \mathbf{1}, \quad S_k^2 \rightarrow \frac{(n-k-1)(n-k)}{(k+2)(k+1)} \mathbf{1}, \quad S_n S_k \rightarrow \frac{n+1}{k+1} \mathbf{1}.$$

Dénominateur commun : $D_2 = (k+1)(k+2)(n+1-k)(n+2-k)$.

$$D_2, D_2 S_n, D_2 S_k, D_2 S_n^2, D_2 S_k^2, D_2 S_n S_k \text{ confinés dans } \mathbb{Q}(n)[k]_{\leq 4}$$

$$\rightarrow D_2(S_n S_k - S_k - 1) \in \text{ann} \binom{n}{k}.$$

$\deg D_s = O(s) \Rightarrow$ cela **devait arriver** pour un s assez grand.

Plus d'exemples et un contre-exemple

- $\frac{1}{n+k}$: essentiellement la même situation, confinement en dimension $O(s)$.
- $\frac{1}{n^2+k^2}$: confinement dans un espace de dimension $O(s^2)$,
 l'élimination de k n'aboutit pas.
- $f = \frac{a(x, y_1, \dots, y_r)}{b(x, y_1, \dots, y_r)} : D_s = b^{s+1}$,
 confinement dans un espace de dimension $O(s^r)$ sur $K(x)$,
 l'élimination of y_1, \dots, y_r doit aboutir.
 Cas de base de la preuve que les fonctions D-finies sont
 « holonomes ».

Additionner une partie gauche et une partie droite

Spécification des algorithmes de télescopage créatif

Entrée : des générateurs d' $\text{ann}f$ (ou d'un sous-idéal suffisant)

Sortie : toutes les (A, B) telles que :

- $A + \partial_y B \in \text{ann}f$,
- A est indépendant de y et ∂_y

Algorithmes pour des classes spécifiques.
Renvoient souvent des résultats tronqués.



Définition (idéal télescopique de I par rapport à y)

$$T_y(I) := (I + \partial_y \mathcal{R}_{x,y}) \cap \mathcal{R}_x \quad \text{où}$$

$$\mathcal{R}_{x,y} := K(x, y) \langle \partial_x, \partial_y \rangle \text{ and } \mathcal{R}_x := K(x) \langle \partial_x \rangle.$$

Quand $I = \mathcal{R}_{x,y}G_1 + \cdots + \mathcal{R}_{x,y}G_\ell$, ceci fait intervenir

$$(\mathcal{R}_{x,y}G_1 + \cdots + \mathcal{R}_{x,y}G_\ell) + \partial_y \mathcal{R}_{x,y}.$$

Croissance polynomiale et télescopage créatif, $\delta > 0$

Définition (croissance polynomiale p)

Il existe une suite de polynômes $P_s(x, y)$, t.q. si $|a| + b \leq s$,
 $P_s \partial_{x_1}^{a_1} \dots \partial_{x_k}^{a_k} \partial_y^b$ se réduit à des polys de degré $O(s^p)$ in y .

Remarque : $p = 1$ dans le cadre classique.

Croissance polynomiale et télescopage créatif, $\delta > 0$ Définition (croissance polynomiale p)

Il existe une suite de polynômes $P_s(x, y)$, t.q. si $|a| + b \leq s$,
 $P_s \partial_{x_1}^{a_1} \dots \partial_{x_k}^{a_k} \partial_y^b$ se réduit à des polys de degré $O(s^p)$ in y .

Remarque : $p = 1$ dans le cadre classique.

Théorème (Chyzak, Kauers & Salvy, 2009)

$$\delta(T_y(I)) \leq \max(\delta(I) + p - 1, 0).$$

Preuve : $P_s \partial_x^a \partial_y^b - \sum_{\beta \in M_s(I)} (\text{deg. en } y \leq O(s^p)) \partial^\beta \in I$
 \Rightarrow tout choix $\partial_{x_1}, \dots, \partial_{x_{\delta(I)+p}}, \partial_y$ est algébriquement dépendant
 modulo $I \Rightarrow \delta(T_y(I)) \leq \delta(I) + p - 1$.

Croissance polynomiale et télescopage créatif, $\delta > 0$

Définition (croissance polynomiale p)

Il existe une suite de polynômes $P_s(x, y)$, t.q. si $|a| + b \leq s$,
 $P_s \partial_{x_1}^{a_1} \dots \partial_{x_k}^{a_k} \partial_y^b$ se réduit à des polys de degré $O(s^p)$ in y .

Remarque : $p = 1$ dans le cadre classique.

Théorème (Chyzak, Kauers & Salvy, 2009)

$$\delta(T_y(I)) \leq \max(\delta(I) + p - 1, 0).$$

Preuve : $P_s \partial_x^a \partial_y^b - \sum_{\beta \in M_s(I)} (\text{deg. en } y \leq O(s^p)) \partial^\beta \in I$
 \Rightarrow tout choix $\partial_{x_1}, \dots, \partial_{x_{\delta(I)+p}}, \partial_y$ est algébriquement dépendant modulo $I \Rightarrow \delta(T_y(I)) \leq \delta(I) + p - 1$.

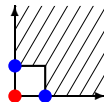
Corollaire (condition suffisante pour le télescopage créatif)

$\delta(I) + p - 1 < k \Rightarrow$ des identités existent pour la somme/int. p. r. à y .

Exemples de croissance polynomiale $p = 1$

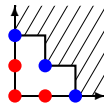
- Hypergéométrique propre (Wilf & Zeilberger, 1992) :

$$Q(n, k) \zeta^k \frac{\prod_{i=1}^u (a_i n + b_i k + c_i)!}{\prod_{i=1}^v (u_i n + v_i k + w_i)!}$$



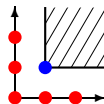
Q un polynôme, a_i, b_i, u_i, v_i des entiers.

- Différentiel D-finie (cas particulier d'« holonomie »).
- Stirling : $\delta = 1 \rightarrow$ pour ≥ 3 vars, e.g., Frobenius :



$$\sum_{k=0}^n (-1)^{m-k} k! \binom{n-k}{m-k} \left\{ \begin{matrix} n+1 \\ k+1 \end{matrix} \right\} = \left\langle \begin{matrix} n \\ m \end{matrix} \right\rangle.$$

- Type « Abel » : $\delta = 2 \rightarrow$ pour ≥ 4 vars, par exemple Abel :



$$\sum_{k=0}^n \binom{n}{k} i(k+i)^{k-1} (n-k+j)^{n-k} = (n+i+j)^n.$$

Algorithme I : À la Fasenmyer

Croissance polynomiale + algèbre linéaire $\rightarrow J := I \cap \mathcal{R}_x[\partial_y]$.

Algorithme

Pour des valeurs croissantes de s , jusqu'à ce que $\delta(J) \leq \text{borne}$:

- ① Réduire tous les $\partial_x^a \partial_y^b$ tels que $a + b \leq s$;
- ② Normaliser au dénominateur commun ;
- ③ Système linéaire qui annule les puissances positives strictes de y ;
- ④ Si une solution non nulle est trouvée, elle a la forme $A(x, \partial_x) + \partial_y B(y, \partial_x, \partial_y)$; l'ajouter à J .

Ceci calcule A dans

$$(J + \partial_y \mathcal{R}_x[\partial_y]) \cap \mathcal{R}_x, \quad \text{pas dans} \quad T_t(I) := (I + \partial_y \mathcal{R}_{x,y}) \cap \mathcal{R}_x.$$

$$\mathcal{R}_x = K(x) \langle \partial_x \rangle \subset \mathcal{R}_x[\partial_y] \subset \mathcal{R}_{x,y} := K(x, y) \langle \partial_x, \partial_y \rangle.$$

Algorithme II. À la Zeilberger/Chyzak

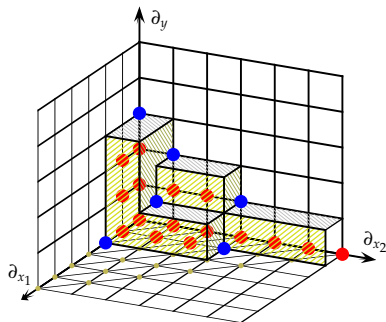
Calculer A dans $T_t(I) := (I + \partial_y \mathcal{R}_{x,y}) \cap \mathcal{R}_x$. \leftrightarrow plus rapide, plus précis.

- ① $(q-)$ hypergéométrique : Zeilberger 1990 (impl. : Schorn, Riese).
- ② ∂ -fini ($\delta = 0$) : Chyzak 2000 (impl. : Koutschan, Pech).
- ③ non ∂ -fini ($\delta > 0$) : Chyzak, Kauers & Salvy 2009.

Algorithme II. À la Zeilberger/Chyzak

Calculer A dans $T_t(I) := (I + \partial_y \mathcal{R}_{x,y}) \cap \mathcal{R}_x. \leftrightarrow$ plus rapide, plus précis.

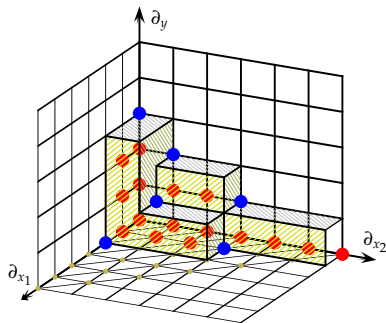
- ① (q) -hypergéométrique : Zeilberger 1990 (impl. : Schorn, Riese).
- ② ∂ -fini ($\delta = 0$) : Chyzak 2000 (impl. : Koutschan, Pech).
- ③ non ∂ -fini ($\delta > 0$) : Chyzak, Kauers & Salvy 2009.



Algorithme II. À la Zeilberger/Chyzak

Calculer A dans $T_t(I) := (I + \partial_y \mathcal{R}_{x,y}) \cap \mathcal{R}_x$. \leftrightarrow plus rapide, plus précis.

- ① (q) -hypergéométrique : Zeilberger 1990 (impl. : Schorn, Riese).
- ② ∂ -fini ($\delta = 0$) : Chyzak 2000 (impl. : Koutschan, Pech).
- ③ non ∂ -fini ($\delta > 0$) : Chyzak, Kauers & Salvy 2009.



pour $s = 0, 1, 2, \dots$, jusqu'à ce que $\delta(J) \leq \text{borne}$:
 faire $A := \sum_{|\alpha| \leq s} \eta_\alpha(x) \partial^\alpha$ pour des
 coeffs indéterminés $\eta_\alpha(y) \in K(x)$
 faire $B := \sum_{\beta \in M_s(I)} \phi_\beta(x, y) \partial^\beta$ pour des
 coeffs indéterminés $\phi_\beta(y) \in K(x, y)$
 réduire $A - \partial_y B$ sur la base $M_s(I)$
 extraire les coeffs pour former un système
 linéaire du premier ordre p. r. à ∂_y
 résoudre et fixer J à l'idéal des A
 renvoyer les paires (A, B)

Plan

- 9 Introduction
- 10 Clôtures algébriques
- 11 Clôtures sous Σ et \int
- 12 Conclusion**

Résumé : trois idées

Confinement (en e. v. de dim. finie, en modules de dim. > 0)

Les dérivées d'« ordres supérieurs », $\partial^s(f)$, se récrivent comme des combinaisons linéaires d'un ensemble d'un ensemble spécifique de dérivées de « petit ordre », $\partial^a(f)$, $a \in A$.

Plus de $\text{card } A$ dérivées \rightarrow équation(s) \rightarrow clôtures.

Croissance polynomiale (borne sur le degré des coeffs des formes normales)

$$i \leq s \quad \Rightarrow \quad \partial^i(f) = \frac{1}{P_s} \sum_{a \in A} (\text{degré en } y \leq O(s^p)) \partial^a(f)$$

p suffisamment petit \rightarrow équation(s) libre(s) de y .

Télescopage créatif (\approx dériv. sous le signe int. + int. par parties)

Équation libre de $y \rightarrow$ équation sur intégrale/somme p. r. à y .

Élimination polynomiale tordue ou autres approches.

Conclusion

- L'approche :
 - dim. d'entrée + croissance polynomiale \rightarrow dim. de sortie ;
- Résolution en solutions rationnelles passée sous silence ;
- Sommation et intégration multiple ;
- **Bornes** \rightarrow identités + leurs tailles + **complexité** des algorithmes.
- Questions ouvertes :
 - Approche guidée par la série de Hilbert doit être possible.
 - Remplacer la croissance polynomiale par quelque chose d'**intrinsèque** ;
 - Exploiter les symétries ;
 - Approximants de Hermite–Padé structurés ;
 - Comprendre la **non-minimalité** ;
 - Preuve automatique ?
 - Formules générales à nombre de sommes/intégrales variable ?